

بِسْمِ اللَّهِ الرَّحْمَنِ الرَّحِيمِ



دانشکده: شیمی

گروه: شیمی آلی

## سنتر پیش ماده دارویی ۳،۲،۱-تری آزول

دانشجو: سید سجاد هاشمیزاده

استاد راهنما:

دکتر محمد باخرد

استاد مشاور:

دکتر حسین نصر اصفهانی

پایان نامه ارشد جهت اخذ درجه کارشناسی ارشد

شهریور ۱۳۹۳

دانشگاه صنعتی شهرود

دانشکده : شیمی

گروه : شیمی آلی

پایان نامه کارشناسی ارشد آقای سید سجاد هاشمیزاده

تحت عنوان:

سنتز پیش ماده دارویی ۱، ۲، ۳-تری آزول

در تاریخ ۱۳۹۳/۶/۲۶ توسط کمیته تخصصی زیر جهت اخذ مدرک کارشناسی ارشد رشته شیمی آلی  
موردنظر ارزیابی و با درجه ..... مورد پذیرش قرار گرفت.

امضاء	اساتید مشاور	امضاء	اساتید راهنمای
	دکتر حسین نصر اصفهانی		دکتر محمد باخرد

امضاء	نماینده تحصیلات تكميلى	امضاء	اساتید داور
	دکتر مهدی میرزایی		دکتر علی کیوانلو
			دکتر بهرام بهرامیان

## تقدیم به پدر عزیز و بزرگوارم، مظہر ایثار و معرفت

بے او که نمی دانم از بزرگی اش بگویم یا از مردانگی و سخاوت، سکوت، مهربانی و .....

پدرم راه تمام زندگی و دلخوشی همیشگیست...

بے وجود پر مهرش، صلات کلامش و به مهربانی نگاهش که همیشه و در همه زندگی بهترین دوست و حامی ام بوده‌اند.

## تقدیم به روح پاک مادر دلسوز و مهربانم، الٰهه عشق و ایثار

که تکیه‌گاه و تمام هستی ام بوده و آفتاب مهرش در آستانه قلبم، همچنان پابرجاست و هرگز غروب نخواهد کرد.

و اکنون جای خالی و یاد و خاطره‌اش ، نگرانی و محبت نگاهش، گرمی دستان پر مهرش را به یاد می‌آورم که آرامشی ستودنی به ارمغان آورده و امید بخش زندگی ام می- باشد.

## تقدیم به همسر عزیزم:

که زیبایی حضورش در کنارم، خستگی‌های این راه را به امید و روشنی راه تبدیل کرده است

## تقدیم به:

همه کسانی که لحظه‌ای بعد انسانی و وجودانی خود را فراموش نمی‌کنند و بر آستان گران سنگ انسانیت سر فرود می‌آورند و انسان را با همه تفاوت‌هایش ارج می‌نهند.

## حمد و سپاس

الله!

تو را سپاس به خاطر توفیق آگاهی که به من عطا نمودی. خدایا به من قدرتی عطا کن که به استقبال آیندهای روشن پیش روم، صبر مرحمت فرما تا در سختی‌های روزگار همواره بکوشم.

با توجه به عنایات خاصه خداوند متعال، مساعدت و یاری خانواده عزیز، اساتید بزرگوار و دوستان خوبم، اکنون که پایان نامه خود را به پایان رسانده‌ام بر خود لازم می‌دانم تا در کمال ادب و احترام مراتب سپاس و قدردانی خالصانه و صمیمانه را از همه کسانی که من را در این پایان نامه یاری نموده‌اند ابراز داشته و کمال تشکر و امتنان را دارم. همچنین از خداوند متعال توفیق و سعادت همه‌ی پویندگان علم و دانش را خواهانم.

در ابتدا زحمات بی دریغ و حمایت‌های پدر و مادر عزیزم را ارج می‌نهم که در طول دوران تحصیل، همواره موجب دلگرمی و آسودگی خاطر برایم بوده‌اند و بی شک در سایه‌ی حمایت‌های آنها امروز مرحله علمی دیگری را با موفقیت به پایان رسانده‌ام و امیدوارم فرزند شایسته و قدر شناسی برای آنها باشم.

قدردان تمام اعضا خانواده‌ام هستم که در طول دوران تحصیل متحمل زحماتم بودند و همواره با مهربانی و حمایت‌هایشان مشوقانی برای ادامه مسیرم بوده‌اند و وجودشان مایه‌ی دلگرمی من است.

از استاد راهنمای گرامیم جناب آقای دکتر محمد باخرد به خاطر راهنمایی‌های بی‌دریغ و حمایت‌های همه جانبی ایشان سپاسگزاری نموده، برای ایشان سلامتی و موفقیت روز افزون را آرزو می‌کنم.

از استاد مشاور ارجمند جناب آقای دکتر حسین نصر اصفهانی که از نقطه نظرات سودمند و مساعدت‌های ایشان بهره‌مند شده‌ام کمال تشکر را دارم.

از اساتید داور محترم جناب آقای دکتر علی کیوانلو و جناب آقای دکتر بهرام بهرامیان و همچنین از نماینده شورای تحصیلات تکمیلی جناب آقای دکتر مهدی میرزاوی به خاطر شرکت در جلسه دفاع و مطالعه‌ی پایان نامه قدردانی می‌نمایم.

جا دارد از کارکنان محترم دانشکده‌ی شیمی آقایان مهندس مومنی، آقای کلی، آقای یزدانی و آقای اللهیاری قدردانی نمایم.

در پایان از همراهی و صمیمیت دوست خوبم آقای محمد تقی اسلامی، و تشکر خالصانه از خانم دوستی، خانم بشارتی، خانم فخاریان و آقای شیرعلی‌زاده که مرا در انجام این پروژه یاری نمودند کمال تشکر را دارم.

# تعهد نامه

اینجانب سیدسجاد هاشمیزاده دانشجوی دوره کارشناسی ارشد رشته شیمی آلی دانشگاه صنعتی شهرود نویسنده پایان نامه سنتز پیش ماده دارویی ۱، ۲، ۳-تری آزول تحت راهنمائی دکتر محمد باخرد متعدد می شوم.

- تحقیقات در این پایان نامه توسط اینجانب انجام شده است و از صحت و اصالت برخوردار است.
- در استفاده از نتایج پژوهش‌های محققان دیگر به مرجع مورد استفاده استناد شده است.
- مطلوب مندرج در پایان نامه تاکنون توسط خود یا فرد دیگری برای دریافت هیچ نوع مدرک یا امتیازی در هیچ جا ارائه نشده است.
- کلیه حقوق معنوی این اثر متعلق به دانشگاه صنعتی شهرود می باشد و مقالات مستخرج با نام « دانشگاه صنعتی شهرود » و یا « Shahrood University of Technology » به چاپ خواهد رسید.
- حقوق معنوی تمام افرادی که در به دست آمدن نتایج اصلی پایان نامه تأثیرگذار بوده اند در مقالات مستخرج از پایان نامه رعایت می گردد.
- در کلیه مراحل انجام این پایان نامه ، در مواردی که از موجود زنده ( یا بافت‌های آنها ) استفاده شده است ضوابط و اصول اخلاقی رعایت شده است.
- در کلیه مراحل انجام این پایان نامه، در مواردی که به حوزه اطلاعات شخصی افراد دسترسی یافته یا استفاده شده است اصل رازداری ، ضوابط و اصول اخلاق انسانی رعایت شده است.

## تاریخ

## امضای دانشجو

## مالکیت نتایج و حق نشر

- کلیه حقوق معنوی این اثر و محصولات آن (مقالات مستخرج، کتاب، برنامه های رایانه ای، نرم افزار ها و تجهیزات ساخته شده است ) متعلق به دانشگاه صنعتی شهرود می باشد.
- این مطلب باید به نحو مقتضی در تولیدات علمی مربوطه ذکر شود.
- استفاده از اطلاعات و نتایج موجود در پایان نامه بدون ذکر مرجع مجاز نمی باشد.

## چکیده

در این تحقیق با استفاده از کاتالیزگر مس(I) یدید ثبیت شده روی پودر پوسته تخمرغ و با توجه به خواص بیولوژیکی و دارویی ترکیبات تریآزول، سنتز مشتقات ۱،۲،۳-تریآزول استخلاف شده در موقعیت‌های ۱ و ۴ گزارش می‌گردد.

از واکنش سه جزئی تک ظرفی ترکیبات آلکیل هالید با آلکین‌های انتهایی و سدیم آزید در حضور کاتالیزگر و حلal آب در دمای اتاق به مدت ۸-۱۲ ساعت مشتقات ۱،۲،۳-تریآزول با بهره نسبتاً خوب سنتز گردید. از ویژگی‌های این روش می‌توان به ارزان قیمت بودن و قابل بازیافت بودن کاتالیزگر، استفاده از حلal آب، بهره خوب و تک ظرفی بودن واکنش اشاره کرد.

كلمات کلیدی: ۱،۲،۳-تریآزول، کاتالیزگر مس(I) یدید ثبیت شده روی پودر پوسته تخمرغ، سدیم آزید

## فهرست

صفحه	عنوان
<b>فصل اول: مقدمه</b>	
۲	۱-۱) شیمی ۳،۲،۱-تریآزول
۲	۱-۲) کاربردها و خواص بیولوژیکی تریآزول‌ها
۳	۱-۳) سنتز ۳،۲،۱-تریآزول و مشتقات آن
۹	۱-۴) کاتالیزگرهای ناهمگن
۹	۱-۵) ویژگی‌ها و کاربردهای کاتالیزگر پودر پوسته تخم مرغ (Eggshell).
<b>فصل دوم: بحث و بررسی نتایج</b>	
۱۲	۲-۱) بحث و بررسی نتایج
۱۳	۲-۲) سنتز کاتالیزگر مس (I) یدید ثبیت شده روی پودر پوسته تخم مرغ
۱۳	۲-۳) بهینه نمودن شرایط واکنش
۱۴	۲-۴) سنتز مشتقات ۳،۲،۱-تریآزول‌های استخلاف شده در موقعیت‌های ۱ و ۴ با استفاده از کاتالیزگر مس (I) یدید ثبیت شده روی پودر پوسته تخم مرغ (Eggshell).
۱۷	۲-۵) بازیافت کاتالیزگر مس (I) یدید ثبیت شده روی پودر پوسته تخم مرغ
۱۹	۲-۶) مکانیسم واکنش
۲۲	۲-۷) شواهد طیفی مشتقات ۳،۲،۱-تریآزول‌های استخلاف شده در
۲۲	۲-۸) موقعیت‌های ۱ و ۴
۲۲	۲-۹) ۱-بنزیل-۴-فنیل-۱H-۳،۲،۱-تریآزول (۳۷a)
۲۲	۲-۱۰) ۱-بنزیل-۱H-۳،۲،۱-تریآزول-۴-ایل-متانول (۳۷b)
۲۳	۲-۱۱) ۱-بنزیل-۱H-۳،۲،۱-تریآزول-۴-هگزیل (۳۷c)

۲۳	۴-۷-۲) ۱-بنزیل-۴-بوتیل-۱H-۳،۲،۱-تریآزول (۳۷d)
۲۴	۵-۷-۲) ۱-بوتیل-۴-فنیل-۱H-۳،۲،۱-تریآزول (۳۷e)
۲۵	۶-۷-۲) ۱-پروپیل-۴-فنیل-۱H-۳،۲،۱-تریآزول (۳۷f)
۲۶	۸-۲) نتیجه‌گیری
۲۷	۹-۲) آینده‌نگری

### فصل سوم: بخش تجربی

۳۰	۱-۳) دستگاهها
۳۰	۲-۳) مواد اولیه
۳۱	۳-۳) تهیه کاتالیزگر مس (I) ییدید ثبیت شده روی پودر پوسته تخمرغ
۳۱	۴-۳) تهیه مشتقات ۱،۲،۳-تریآزول‌های استخلاف شده در موقعیتهای ۱ و ۴
۳۲	۱-۴-۳) ۱-بنزیل-۴-فنیل-۱H-۳،۲،۱-تریآزول (۳۷a)
۳۲	۲-۴-۳) ۱-بنزیل-۱H-۳،۲،۱-تریآزول-۴-ایل-متانول (۳۷b)
۳۲	۳-۴-۳) ۱-بنزیل-۴-هگزیل-۱H-۳،۲،۱-تریآزول (۳۷c)
۳۲	۴-۴-۳) ۱-بنزیل-۴-بوتیل-۱H-۳،۲،۱-تریآزول (۳۷d)
۳۳	۵-۴-۳) ۱-بوتیل-۴-فنیل-۱H-۳،۲،۱-تریآزول (۳۷e)
۳۳	۶-۴-۳) ۱-پروپیل-۴-فنیل-۱H-۳،۲،۱-تریآزول (۳۷f)

### ضمیمه

۳۵	ضمیمه
----	-------

### مراجع

۴۹	مراجع
----	-------





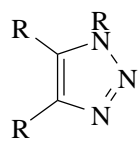
# فصل اول

مقدمه

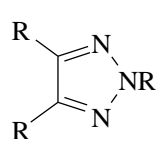
## ۱-۱) شیمی ۳،۲،۱-تریآزول

تریآزول‌ها یک دسته مهم از ترکیبات هتروسیکل فعال زیستی می‌باشند که به دو دسته ۳،۲،۱-تریآزول و ۱،۲،۴-تریآزول تقسیم می‌شوند. برای اولین بار در سال ۱۸۵۵ میلادی، بلادین<sup>۱</sup> نام تریآزول را برای این دسته از ترکیبات انتخاب کرد [۱].

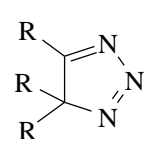
مشتقان ۳،۲،۱-تریآزول با توجه به موقعیت پیوندهای دوگانه، دارای سه ایزومری (۱)، (۲) و (۳) می‌باشند. ایزومرهای (۱) و (۲) آروماتیک بوده در حالی که ایزومر (۳) آروماتیک نیست [۲].



(۱)



(۲)



(۳)

۱-۱H ۳،۲،۱-تریآزول ۱-۲H ۱-۴H ۳،۲،۱-تریآزول

## ۱-۲) کاربردها و خواص بیولوژیکی تریآزول‌ها

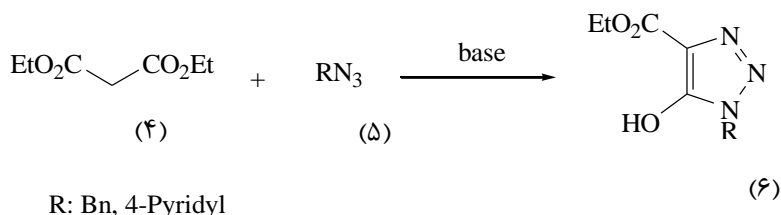
تریآزول‌ها کاربردهای وسیعی در صنایع داروسازی، کشاورزی و صنعت پیدا کرده‌اند. از جمله کاربردهای تریآزول در صنعت می‌توان به سفید کننده‌های فلوئورسن特، شفاف کننده‌های نوری، پایدار کننده‌های نوری برای الیاف، پلاستیک‌ها و رنگ اشاره کرد [۳]. همچنین از ۳،۲،۱-تریآزول به عنوان مواد افزودنی در ساخت و ساز بلوک‌های ساختمانی استفاده می‌شود [۴].

<sup>۱</sup>. Beladine

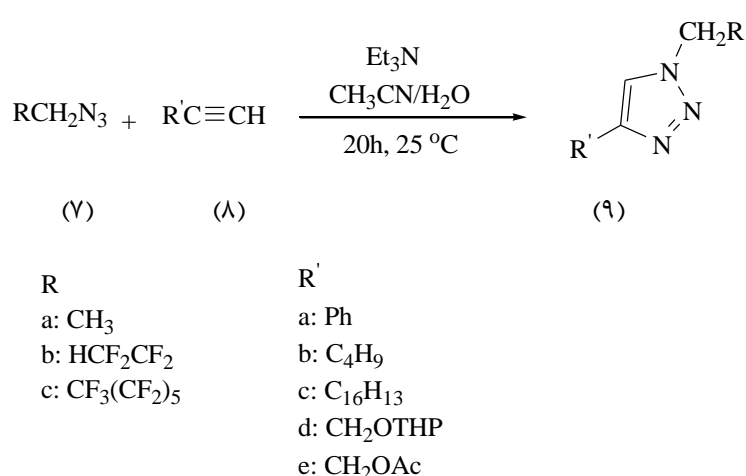
علاوه بر این، این ترکیبات دارای فعالیت‌های بیولوژیکی می‌باشند که از جمله‌ی آنها می‌توان به فعالیت‌های ضد ویروسی، ضد تشنج، ضد حساسیت، ضد سرطان، ضد HIV، ضد افسردگی و ضد فشارخون اشاره کرد [۵].

### ۱-۳) سنتز ۲،۳-تریآزول و مشتقات آن

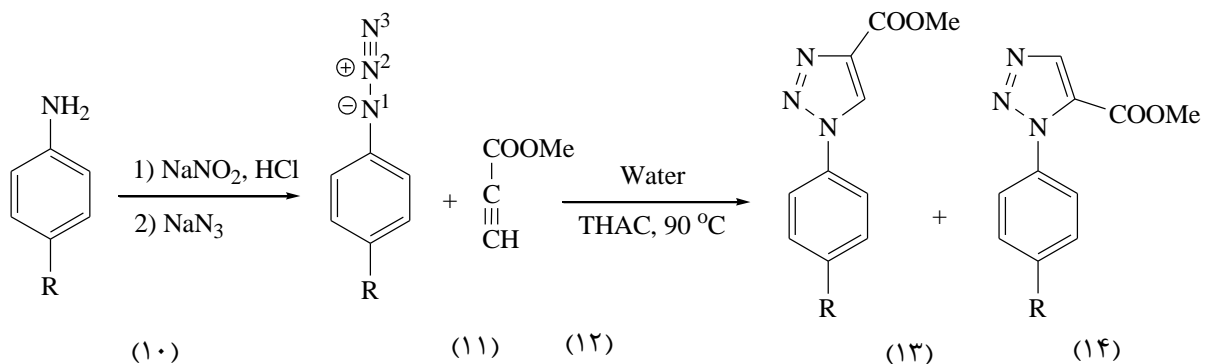
یکی از بهترین روش‌های سنتز H-1،۲،۳-تریآزول-۵-اول (۶)، واکنش آزیدهای آلی (۵) با مالونیک استر (۴) می‌باشد که در آن گروه استری در موقعیت ۴ قرار گرفته و واکنش به صورت مرحله‌ای و جهت گزین انجام می‌شود. واکنش زیر در سال ۱۹۸۹ انجام گرفته است [۶].



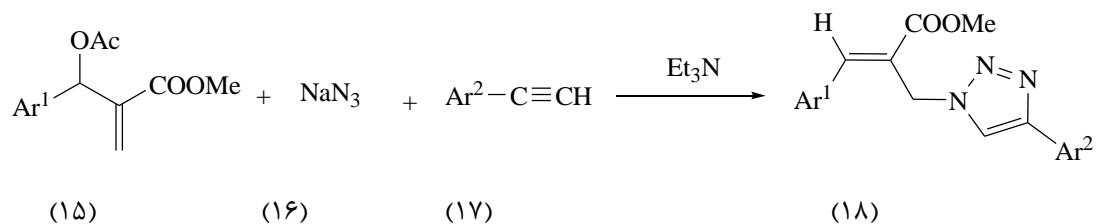
در سال ۲۰۰۴ از واکنش فلوروآلکیل آزید (۷) با آلکین انتهایی (۸) مشتقات جدیدی از ۱،۲،۳-تریآزول (۹) با بهره بالا سنتز گردید [۷].



در سال ۲۰۰۶ مشتقات جدیدی از تریآزولهای ۱،۴ و ۵،۱ (۱۳) و (۱۴) استخلافی سنتز گردیده است که دارای فعالیت‌های بیولوژیکی ضد HIV و ضد میکروبی می‌باشند. در این واکنش ابتدا آنیلین (۱۰) در حضور سدیم‌نیتریت و سدیم‌آزید به نمک آریل‌آزید ۱،۳-دوقطبی (۱۱) تبدیل شده است. در مرحله بعد، از واکنش این ترکیب با متیل پروپیولات (۱۲) در حضور کاتالیزگر تتراهگزیل‌آمونیوم‌کلرايد (THAC) و حلال آب، محصولات (۱۳) و (۱۴) با بهره بالا سنتز گردیده است [۸].

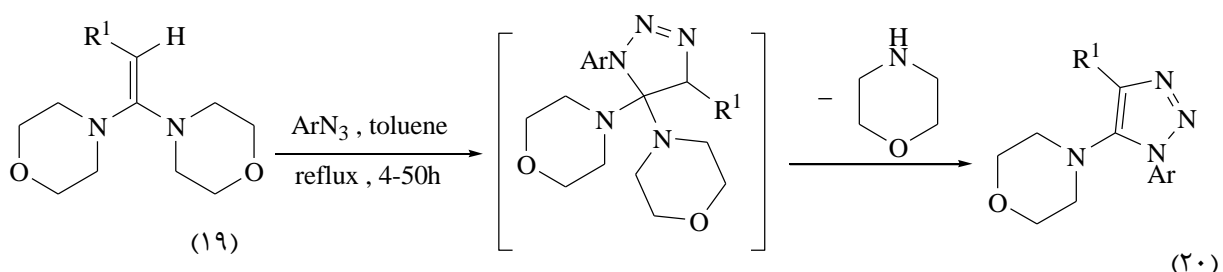


در سال ۲۰۰۶ از واکنش ۲-(استوکسی-آریل-متیل)-آکریلیک اسید متیل استر (۱۵) با سدیم آزید (۱۶) و آلکین انتهایی (۱۷) مشتقات جدیدی از ۱،۳-تریآزولهای ۱ و ۴-استخلافی (۱۸) با بهره بالا سنتز شد [۹].

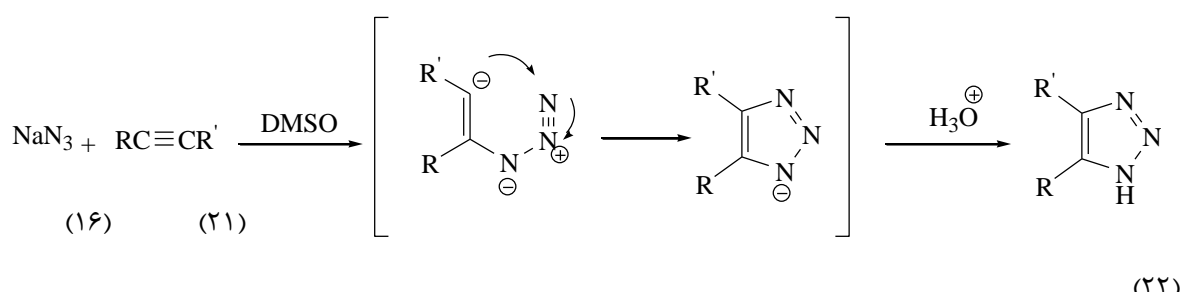


$\text{Ar}^1$ : Cyclohexyl, *p*-methyl Phenyl, *m*-methoxy Phenyl, Phenyl, *p*-nitro Phenyl  
 $\text{Ar}^2$ : *p*-methoxy Phenyl, Phenyl, *p*-nitro Phenyl

در سال ۲۰۰۶ از واکنش آزیدها با ۱،۱-دیمورفولین اتن (۱۹)، ترکیبات ۴ و ۵ دی هیدرو-۱H-۳،۲،۱-تریآزول (۲۰) سنتز گردیده است. در این واکنش زمانی که  $R^1=Me$  باشد، تریآزول پایدار (۲۰) با راندمان ۹۸٪ به دست می‌آید، در حالی که اگر  $R^1$  گروه‌های کشنده مانند کربونیل یا نیترو باشد، محصول تریآزول قابل جداسازی نمی‌باشد [۱۰].

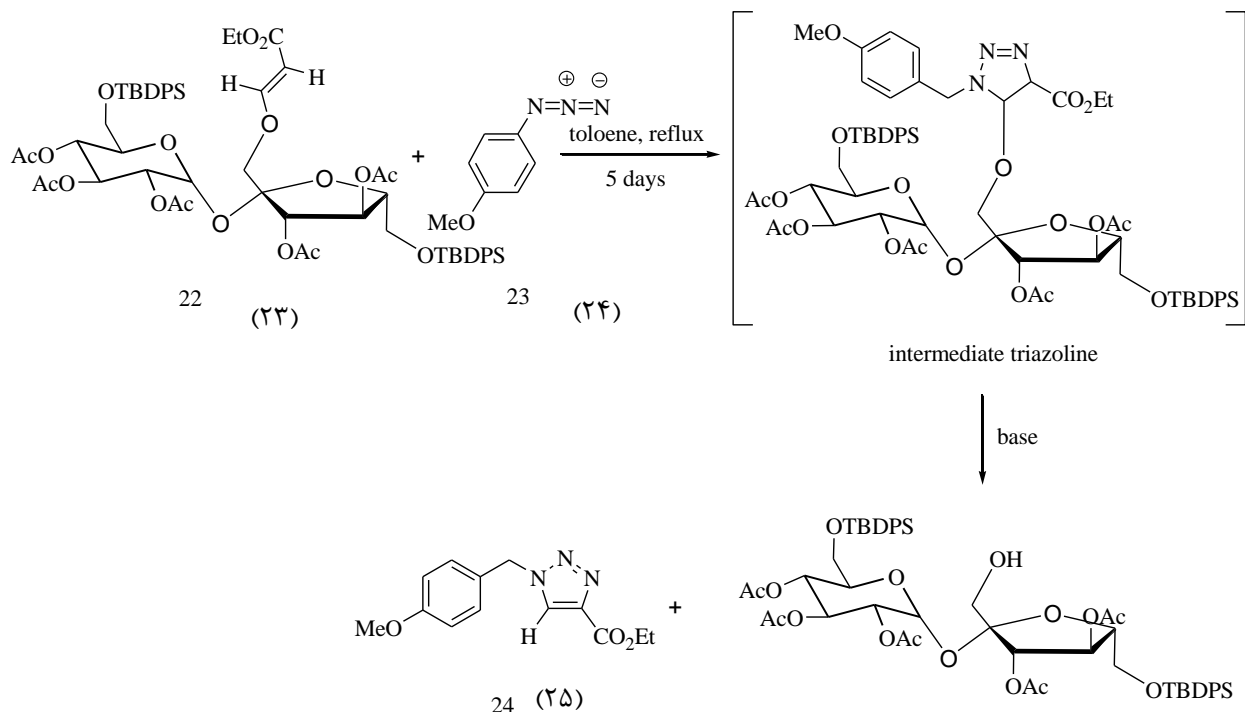


واکنش حلقه‌زایی ترکیبات ۱،۳-دوقطبی آزید (۱۶) با آلکین‌های مختلف روش مناسبی برای سنتز ۳،۲،۱-تریآزول‌ها می‌باشد. در این روش از آلکین‌های نامتقارن (۲۱) استفاده شده که می‌تواند منجر به تولید ایزومرهایی با استخلاف الکترون کشنده در موقعیت ۴ و استخلاف الکترون دهنده در موقعیت ۵ گردد [۱۱].

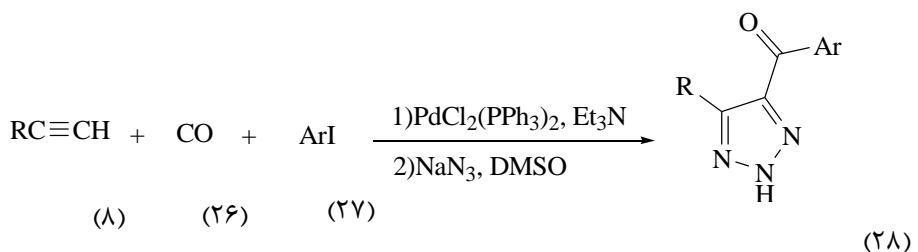


R: CHO, CO<sub>2</sub>Me, COCH<sub>2</sub>Bn  
R': H, Ph, Bn, Bu

در سال ۲۰۰۹ از واکنش مشتق قند (۲۳) با پارا-متوکسی فنیل آزید (۲۴) بعد از ۵ روز رفلaks در حضور حلal تولوئن مشتقات جدیدی از ۳،۲،۱-تریآزول (۲۵) با بهره بالا سنتز گردید. این نوع تریآزول دارای یک طیف گستره‌های از فعالیت‌های دارویی می‌باشد که شامل فعالیت ضد توموری، ضد التهابی، ضد میکروبی، ضد قارچی و ضد ویروسی است [۱۲].



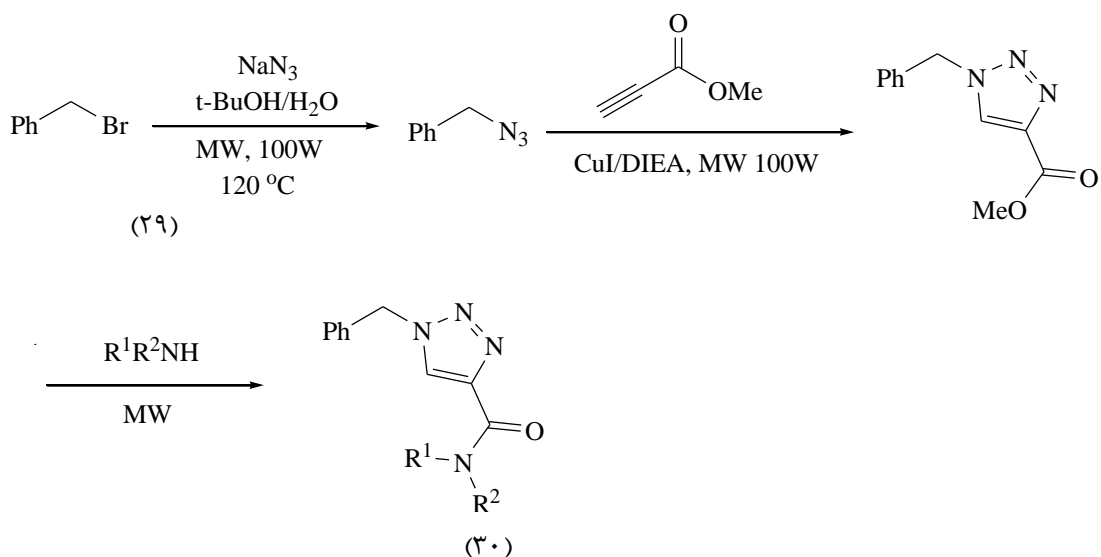
در سال ۲۰۱۰ یک روش تک ظرفی برای سنتز ۳،۲،۱-(NH)-تریآزول دو استخلافی در موقعیت ۴ و ۵ (۲۸) ارائه گردید. در این روش، مخلوطی از ترکیب استیلینی انتهایی (۸)، مونوکسید کربن (۲۶)، آریل یدید (۲۷) و سدیم آزید در حلal DMSO و در حضور کاتالیزگر پالادیم حرارت داده شده است. از مزایای این روش شرایط ملایم و سرعت بالای واکنش می‌باشد [۱۳].



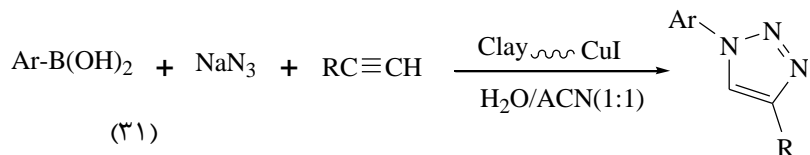
R: Ph, 4-F-C<sub>6</sub>H<sub>4</sub>  
Ar: 4-CH<sub>3</sub>-C<sub>6</sub>H<sub>4</sub>, 4-CH<sub>3</sub>O-C<sub>6</sub>H<sub>4</sub>

در همان سال یک روش تک ظرفی موثر برای سنتز ۳،۲،۱-تریآزول با استفاده از واکنش بنزیل برمید (۲۹)، سدیمآزید و متیل پروپیولات، در حضور کاتالیزگر مس(I)یدید در شرایط ماکروویو گزارش شده است. در ادامه واکنش، با استفاده از آمینهای مختلف و شرایط ماکروویو تریآزولهای جدید (۳۰) به دست آمد.

[۱۴]



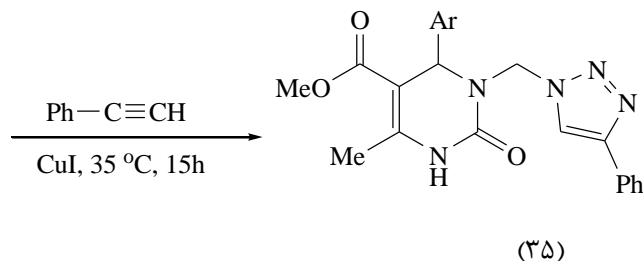
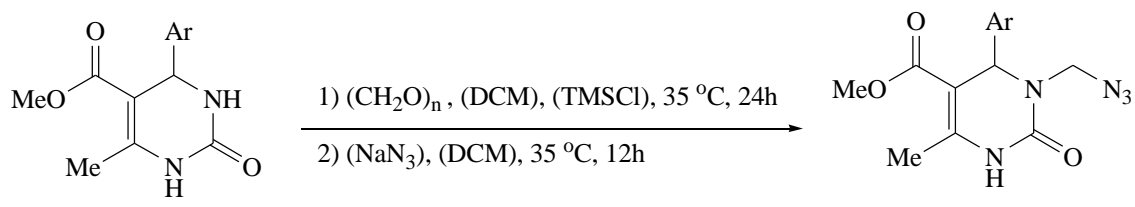
در سال ۲۰۱۲ از واکنش آریل بورونیک اسید (۳۱) با آلکین انتهایی و سدیمآزید در حضور کاتالیزگر مس(I)یدید ثابت شده روی خاک رس مشتقات جدیدی از تریآزول (۳۲) با بهره بالا سنتز شد. از مزایای این روش، استفاده از کاتالیزگر سازگار با محیط زیست، قابل بازیافت بودن کاتالیزگر و همچنین استفاده از آب به عنوان حلal می‌باشد [۱۵].



Ar: aryl, heteroaryl  
R: aryl, alkyl, alicyclic

در سال ۲۰۱۳ یک روش تک ظرفی برای سنتز مشتقات جدیدی از ۱،۲،۳-تریآزوکربن ارائه گردید.

در این روش ابتدا از واکنش ۳،۴-دیهیدریدوپیریمیدینون (۳۳)، پارافormalدهید و سدیم آزید در حضور حلal دیکلرومتان (DCM) و تریمتیل سیلان کلرید (TMSCl)، ترکیب (۳۴) تهیه شد. در اثر واکنش این ترکیب با فنیل استیلن در حضور باز و کاتالیزگر مس (I) یدید تریآزوکربن جدید (۳۵) با بهره بالا سنتز شدند. [۱۶]



## ۱-۴) کاتالیزگرهای ناهمگن

در سال‌های اخیر استفاده از کاتالیزگرهای ناهمگن در فرآیندهای شیمیایی و سنتزهای آلی گسترش یافته است. از امتیازات این کاتالیزگرهای می‌توان به جداسازی آسان، قابلیت استفاده مجدد، سازگاری با محیط زیست و گزینش پذیری بالا اشاره کرد [۱۷] برای کاتالیزگرهای ناهمگن جامد، مساحت سطح کاتالیزگر مهم است. که یکی از روش‌ها برای رسیدن به مساحت سطح بالا، استفاده از بستر (تکیه‌گاه) است؛ و کاتالیزگر در سرتاسر آن پراکنده شده است. بدین ترتیب بهترین راه برای دستیابی به کاتالیزگری ایده‌آل که برتری‌های کاتالیزگرهای همگن و ناهمگن را با هم داشته باشد این است که کاتالیزگرهای همگن به یک بستر جامد پیوند یابند. این کاتالیزگرهای در مقیاس نانو، نسبت سطح به حجم را افزایش داده که در نتیجه، مکان‌های فعال بیشتری را در سطح ایجاد می‌کنند [۱۸].

## ۱-۵) ویژگی‌ها و کاربردهای کاتالیزگر پودر پوسته تخم مرغ (Eggshell).

از خصوصیات بارز این ترکیب در دسترس بودن و سهولت استفاده از آن می‌باشد. از آنجایی که این ترکیب از مواد دور ریز بدست می‌آید، نیاز به صرف هزینه برای تهیه آن نمی‌باشد. امکان دسترسی مجدد از این ترکیبات، آن را تبدیل به بستری مناسب برای واکنش‌های شیمی سبز نموده است [۱۹].

پودر پوسته تخم مرغ علاوه بر فعالیت کاتالیزوری، به عنوان مواد آهکی یا مکمل کلسیمی در صنایع کشاورزی [۲۰] و همچنین به عنوان مواد اولیه برای ساخت سرامیک و کاشی مورد استفاده قرار می‌گیرد [۲۱].

از کاربردهای دیگر این پوسته می‌توان به جلوگیری از گرفتگی لوله‌های فاضلاب، حاصلخیز کردن خاک [۲۲] دفع آفات [۲۳] اشاره کرد.



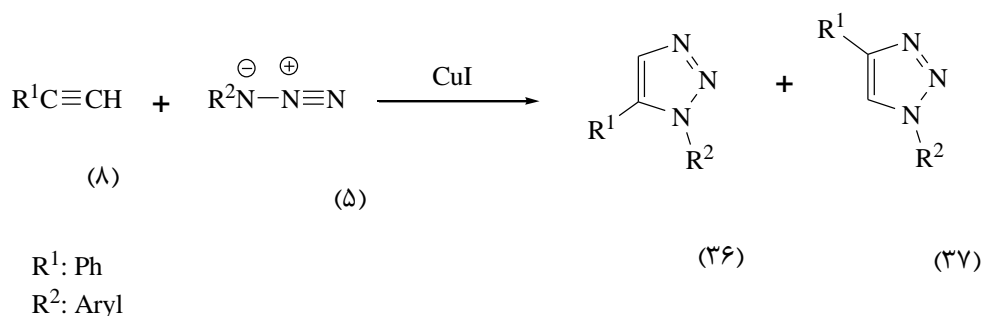
# فصل دوم

بحث و بررسی نتایج

۱-۲ نتایج و بررسی بحث

ترکیبات ۱، ۲، ۳-تریآزول دارای دامنه وسیعی از خواص درمانی و بیولوژیکی، ضد باکتری [۲۴]، ضد قارچ [۲۵]، ضد ایدز [۲۶]، ضد التهاب [۲۷]، ضد تشنج [۲۸]، ضد تومور [۲۹]، مهارکننده آنزیم قند خون [۳۰] و دیگر خواص دارویی در صنایع داروسازی، می‌باشند؛ بنابراین ارائه روش‌های سنتزی نوین برای بهینه کردن و مقرون به صرفه بودن تهیه این ترکیبات ضروری می‌باشد.

واکنش‌های کلیک<sup>۱</sup> اولین بار توسط شارپلس<sup>۲</sup> و همکارانش معرفی شده است. در این تحقیق محصولات ۱ و ۴ (۳۷) و، ۱ و ۵ (۳۶) دو استخلافی ۱،۲،۳-تریآزول تحت واکنش ۱،۳-دوقطبی بین آزیدهای آلی (۵) و آلکین‌های انتهایی (۸)، سنتز گردید [۳۱].



با توجه به اینکه روش‌های محدودی برای سنتز ۱،۲،۳-تریآزول‌ها گزارش شده است [۳۲]، ارائه روش‌های جدید برای سنتز این ترکیبات ضروری به نظر می‌رسد.

بررسی متون علمی برای سنتز ۱،۲،۳-تریآزول‌ها، به استفاده از کاتالیزگر مس (I) یدید اشاره کرده و تاکنون استفاده از کاتالیزگر مس (I) یدید ثبت شده روی پودر پوسته تخمرغ در سنتز این دسته از ترکیبات، گزارش نشده است.

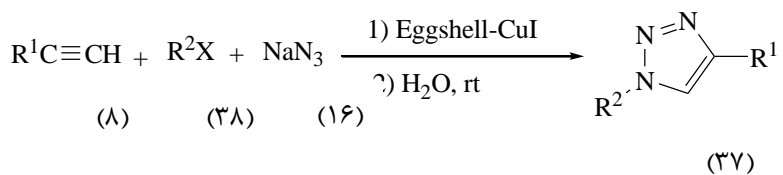
' . Click

Sharpless

## ۲-۲) سنتز کاتالیزگر مس (I) یدید تثبیت شده روی پودر پوسته تخمرغ

به ازای هر گرم از پودر پوسته تخمرغ، میزان یک میلی مول (۰/۱۹۱g) از نمک مس(I) یدید در حلal دی-متیل فرمامید در جو آرگون و دمای  $70^{\circ}\text{C}$  به آن اضافه گردید. پس از ۵ ساعت کاتالیزیت جمع آوری شد و با استفاده از حلal های متانول و استون به خوبی شستشو داده شد و در نهایت پس از خشک شدن مورد استفاده قرار گرفت. میزان کاتالیزگر مس(I) یدید جذب شده روی بستر پودر پوسته تخمرغ به وسیله تکنیک<sup>۱</sup> ICP معادل ۲/۴ درصد تعیین گردید.

در این پژوهش، مشتقات جدیدی از ۳،۲،۱-تریآزولهای استخلاف شده در موقعیت‌های ۱ و ۴ با استفاده از واکنش آلکیل هالید، آلکین‌های انتهایی و سدیم آزید در حضور کاتالیزگر مس (I) یدید تثبیت شده روی پودر پوسته تخمرغ در حلal آب با بهره بالا سنتز گردید.



$\text{R}^1$ : Ph,  $\text{CH}_2$ ,  $n\text{-C}_4\text{H}_9$ ,  $n\text{-C}_7\text{H}_{15}$

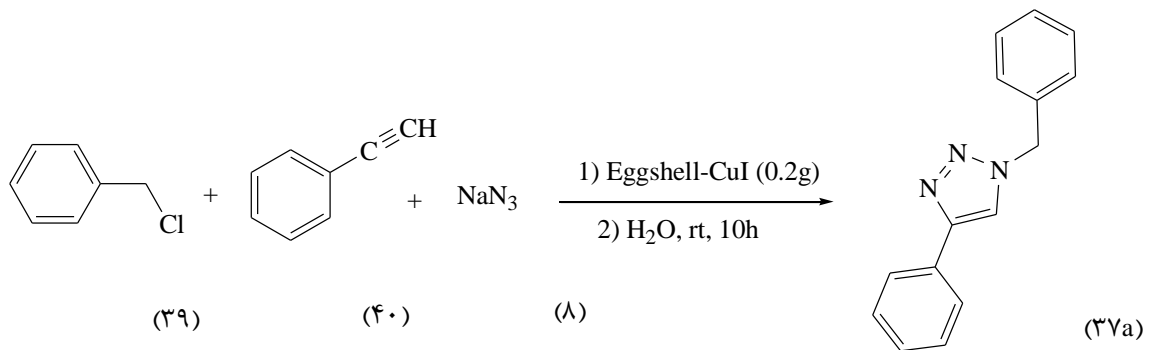
$\text{R}^2$ : Bn,  $n\text{-Bu}$ ,  $n\text{-Pr}$

X: Cl, Br

## ۲-۳) بهینه نمودن شرایط واکنش

برای سنتز مشتقات ۳،۲،۱-تریآزول، ابتدا شرایط واکنش بهینه شد و سپس مشتقات مورد نظر سنتز گردید. برای بهینه نمودن شرایط واکنش، از واکنش بنزیل کلراید (۳۹) با فنیل استیلن (۴۰) و سدیم آزید (۱۶) به عنوان واکنش مبنا استفاده شد و اثر حلal، مقدار کاتالیست و زمان بر روی بهره گرفتار

۱. Inductively Coupled Plasma



نتایج واکنش در جدول (۱-۲) گزارش شده است. طبق نتایج به دست آمده بیشترین بازده واکنش مربوط به شرایط دارای حلال آب و استفاده از ۰/۲ گرم از کاتالیزگر مس(I)یدید ثبت شده روی پودر پوسته تخمرغ(Eggshell-CuI) در دمای اتاق به مدت ۱۰ ساعت میباشد. جدول (۱-۲) دیف(۱)

جدول (۱-۲) اثرات حلال و مقدار کاتالیزگر ناهمگن بر روی واکنش بنزیل کلرايد با فنیل استیلن در حضور سدیم آزید

ردیف	مقدار کاتالیزگر Eggshell-CuI	حلال	زمان	دما	بهره واکنش (%)
۱	۰/۲g	آب	۱۰h	r.t	۸۵
۲	۰/۲g	آب	۲۴h	r.t	۸۵
۳	۰/۲g	آب	۱۰h	رفلакс	۹۰
۴	۰/۲g	اتانل	۲۴h	r.t	۸۰
۵	۰/۲g	اتانل	۱۰h	رفلакс	۹۰

ادامه جدول (۱-۲): اثرات حلال و مقدار کاتالیزگر ناهمگن بر روی واکنش بنزیل کلراید با فنیل استیلن در حضور سدیم آزید

ردیف	مقدار کاتالیزگر Eggshell-CuI	حلال	زمان	دما	بهره واکنش (%)
۶	۰/۰۵g	آب	۱۰ h	r.t	۵۰
۷	۰/۲g	دی متیل فرمامید (DMF)	۱۰ h	r.t	۷۵
۸	۰/۲g	استونیتریل	۱۰ h	r.t	۶۰
۹	۰/۲g	Neat	۱۰ h	r.t	----
۱۰	۰/۱g	آب	۱۰ h	r.t	۶۵
۱۱	۰/۲g	دی اکسان	۱۰ h	r.t	۷۵
۱۲	----	آب	۲۴h	رفلакс	۱۰
۱۳	۰/۲g	تولوئن	۱۰ h	r.t	۱۵
۱۴	Eggshell(۰/۲ g )	آب	۱۰ h	r.t	ناچیز
۱۵	CuI (۰/۰۸mmol )	آب	۱۰ h	r.t	۶۵
۱۶	Eggshell(۰/۲g ) + CuI (۰/۰۸mmol )	آب	۱۰ h	r.t	۵۷

با توجه به جدول (۱-۲)، حضور کاتالیزگر برای انجام واکنش ضروری بوده و بدون کاتالیزگر، حتی با افزایش دما بازده واکنش بسیار ناچیز است. در مقادیر کمتر از  $g/20$  کاتالیزگر مس(I)یدید ثبیت شده روی پودر پوسته تخم مرغ (Eggshell-CuI) بازده واکنش کاهش یافته است، همچنین واکنش در حضور حللهای مختلف با قطبیتهای گوناگون شامل اتانل، دی متیل فرمامید، استونیتریل، دی-اکسان و تولوئن مورد بررسی قرار گرفت و مشخص شد که تغییر قطبیت حللهای در راندمان واکنش تاثیر زیادی دارد.

با توجه به این نتایج شرایط بهینه واکنش استفاده از حللهای آب و دمای اتاق و مدت زمان ۱۰ ساعت می-باشد. در این شرایط افزایش زمان واکنش به ۲۴ ساعت در راندمان واکنش هیچ تغییری ایجاد نکرده است. با توجه به بررسیهای انجام شده، بیشترین راندمان به دست آمده مربوط به شرایطی است که در آن از آب و رفلaks استفاده شد، اما این شرایط به دلیل استفاده دما و اتلاف ارزشی به عنوان شرایط بهینه انتخاب نشد.

همانطور که در جدول (۱-۲) مشاهده می-شود، استفاده از کاتالیزگر پودر پوسته تخم مرغ به تنها ۱۶ برای انجام واکنش مناسب نیست و راندمان بسیار ناچیز است. همچنین استفاده از کاتالیزگر پودر پوسته تخم مرغ و مس(I)یدید به طور مجزا در یک واکنش خیلی جالب نیست و راندمان به مراتب پایین‌تر از زمانی است که از کاتالیزگر مس(I)یدید ثبیت شده روی پودر پوسته تخم مرغ در واکنش استفاده می-شود.

۴-۲) سنتز مشتقات ۱،۲،۳-تریآزولهای استخلاف شده در موقعیت‌های ۱ و ۴

با استفاده از کاتالیزگر مس(I)یدید تثبیت شده روی پودر پوسته تخم-مرغ(Eggshell).

ابتدا کاتالیزگر مس(I)یدید تثبیت شده روی پودر پوسته تخم مرغ (Eggshell) از مخلوط مس(I)یدید و پودر پوسته تخم مرغ در حلal DMF تحت شرایط رفلaks به دست آمد. سپس واکنش آلکیل هالیدهای مختلف، آلکین‌های انتهایی و سدیم‌آزید در حضور این کاتالیزگر و حلal آب، طبق شرایط بهینه جدول (۲-۱، ردیف ۱) انجام گرفت. رسوب حاصل با کلروفرم استخراج گردید. محلول به وسیله  $\text{MgSO}_4$  خشک و سپس صاف شد. پس از تبخیر حلal، محصول (۳۷a) در اتانول و مشتقات دیگر (۳۷b-۳۷f) در اتانول و آب نوبلور شد. نتایج در جدول (۲-۲) نشان داده شده است

جدول (۲-۲) بهره واکنش و دمای ذوب مشتقات جدید ۱،۲،۳-تریآزولهای استخلاف شده در موقعیت ۱ و ۴

ترکیب	ساختار	بهره واکنش (%)	دمای ذوب (°C)	[مرجع] دمای ذوب (°C)
۳۷a		۸۵	۱۲۸-۱۳۰	۱۲۸-۱۲۹ [۳۳]
۳۷b		۸۱	۷۸-۸۰	۷۸-۸۰ [۳۴]
۳۷c		۷۹	۶۷-۶۸	۷۰-۷۱ [۳۵]
۳۷d		۷۶	۵۹-۶۱	۶۰-۶۲ [۳۶]
۳۷e		۷۷	۵۴-۵۶	۵۷-۵۶ [۳۶]
۳۷f		۷۳	۴۸-۵۰	جديد

## ۲-۵) بازیافت کاتالیزگر مس(I) یدید تثبیت شده روی پودر پوسته تخمرغ

یکی از مزیت‌های کاتالیزگر پودر پوسته تخمرغ قابل بازیافت بودن آن می‌باشد، به همین علت در پایان واکنش، محصول ۱-بنزیل-۴-فنیل-۳،۲،۱-H از کاتالیزگر مس(I) یدید تثبیت شده روی پودر پوسته تخمرغ جدا شده و پس از شستشو با کلروفرم و خشک شدن، دوباره مورد استفاده قرار گیرد. همانطورکه در جدول (۲-۳) مشاهده می‌شود کاتالیزگر پس از یک بار بازیافت، فعالیت نسبتاً خوبی از خود نشان می‌دهد.

جدول (۲-۳): بهره‌ی واکنش و زمان انجام واکنش پس از بازیافت کاتالیزگر مس (I) یدید تثبیت شده روی پودر پوسته تخمرغ

تعداد دفعات بازیافت	بهره واکنش (%)	(zمان انجام واکنش(h)
۱	۷۵	۱۰
۲	۴۰	۱۰

در سال‌های اخیر تحقیقاتی جهت بهینه سازی شرایط واکنش سه جزیی، تهییه مشتقات ۱-بنزیل-

۴-فنیل-۱H-۳،۲،۱-آزول صورت گرفته است. در اکثر موارد محصول مورد نظر در دماهای بالا

بدست آمده است و همچنین کاتالیزگر مورد استفاده به صورت نمک مس بوده و همگن می‌باشد. در

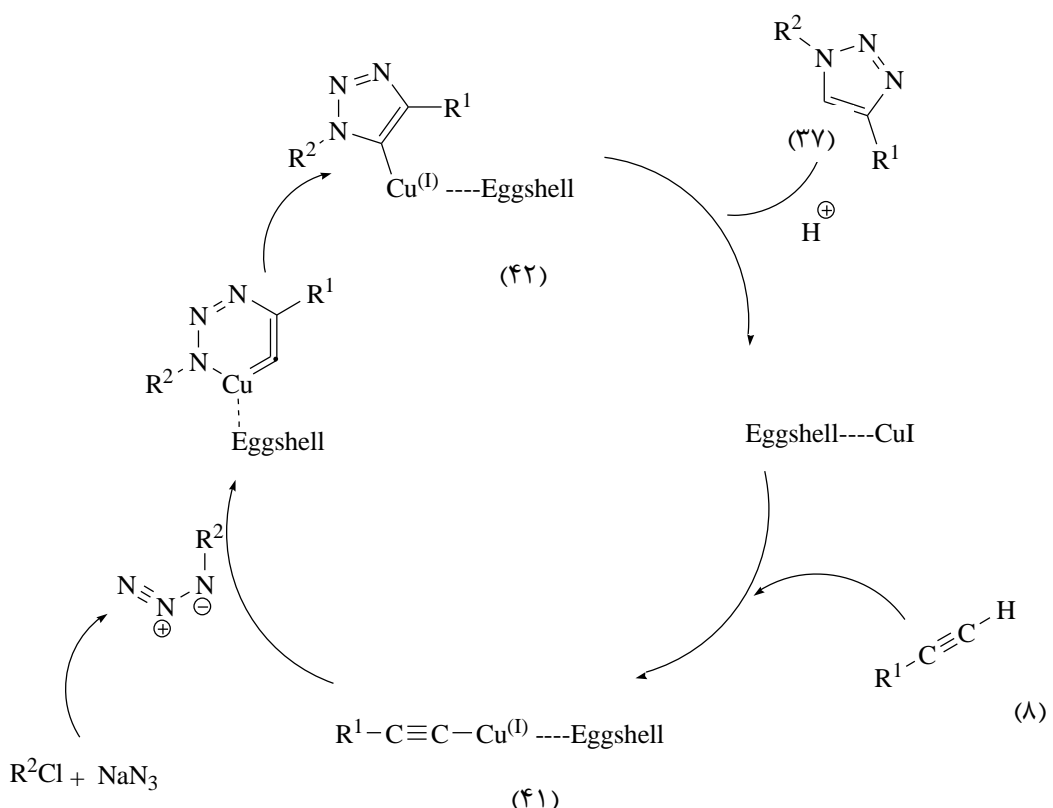
جدول (۴-۲) به بررسی این نتایج به صورت خلاصه پرداخته شده است.

جدول (۴-۲): مقدار کاتالیزگر مس موجود در کاتالیزگرهای ناهمگن و شرایط انجام واکنش همزمان برای واکنش سه جزئی سدیم آزید، بنزیل کلراید و فنیل استیلن

ردیف	نوع کاتالیست (Cu) و مقدار (Cu)	شرایط واکنش و حلال	دما (°C)	زمان	بهره واکنش (%)	مرجع
۱	CuSO <sub>4</sub> (۰/۰ ۱۵g) Cu (۰/۱ mmol)	t-BuOH/H <sub>2</sub> O (۱:۱) (۸ml)	۶۵	۶h	۹۶	[۳۷]
۲	CuFe <sub>۲</sub> O <sub>۴</sub> (۰/۰ ۱۲g) Cu (۰/۰ ۵mmol)	H <sub>2</sub> O (۲ml)	۷۰	۳h	۹۳	[۳۳]
۳	Cu-Al <sub>2</sub> O <sub>۴</sub> (۰/۰ ۱g) Cu (۰/۰ ۶mmol)	H <sub>2</sub> O (۲ml)	r.t	۳-۸h	۹۲	[۳۸]
۴	CuO/AB (۰/۰ ۲۴g) Cu (۰/۰ ۳mmol)	DMSO (۱ml)	۱۵۰	۳h	۱۰۰	[۳۹]
۵	CuNPs (۰/۱ mmol)	THF (۱ml)	۶۵	۱۰ min	۹۸	[۳۵]
۶	SiO <sub>۲</sub> -CuI (۰/۱ ۱۶g) Cu (۰/۰ ۵mmol)	EtOH (۲ml)	۷۸	۲۴h	۹۱	[۴۰]
۷	Eggshell-CuI (۰/۲g) Cu (۰/۰ ۸mmol)	H <sub>2</sub> O (۲ml)	r.t	۱۰ h	۸۵	

## ۶-۲) مکانیسم واکنش

مکانیسم پیشنهادی این واکنش تک ظرفی، یک مکانیسم چند مرحله‌ای است که در آن مس(I)یدید ثابت شده روی پودر پوسته تخم مرغ (Eggshell-CuI) نقش اساسی را در مرحله جفت شدن کربن-کربن دارد. در ابتدا آلکین انتهایی (۸) در حضور مس(I)یدید بر روی پودر پوسته تخم مرغ به استیلید مس (۴۱) که یک ترکیب فعال است تبدیل می‌شود. سپس این واسطه فعال با آلکیل آزید واکنش می‌دهد و نتیجه آن یک واکنش حلقه‌زایی ۱ و ۳-دو قطبی (۴۲) است که در نهایت باعث تشکیل محصول (۳۷) می‌گردد.



## ۷-۲) شواهد طیفی مشتقات ۳،۲،۱-تریآزول‌های استخلاف شده در

### موقعیت‌های ۱ و ۴

#### ۱) ۱-بنزیل-۴-فنیل-۱H-۳،۲،۱-تریآزول (۳۷a)

در طیف  $^1\text{H-NMR}$  این ترکیب که در حلال DMSO دوتره ثبت شده است، پروتون‌های حلقه‌های آромاتیک به صورت پیک چندتایی در ناحیه ppm ۷/۲-۷/۹ با سطح زیر پیک ده هیدروژن ظاهر شده‌اند. پروتون CH حلقه‌ی تریآزول به صورت پیک یکتایی در ppm ۸/۶ با سطح زیر پیک یک هیدروژن و پروتون‌های مربوط به گروه  $\text{CH}_2$  در ppm ۵/۶ با سطح زیر پیک دو هیدروژن ظاهر شده‌اند (طیف شماره ۱).

در طیف IR این ترکیب جذب کششی (C=C) در محدوده  $1440-1484 \text{ cm}^{-1}$  و ارتعاشات خمی خارج از صفحه‌ای پیوندهای C-H حلقه‌ی آромاتیک در محدوده  $696-764 \text{ cm}^{-1}$  ظاهر شده‌اند (طیف شماره ۲).

#### ۲) ۱-بنزیل-۱H-۳،۲،۱-تریآزول-۴-ایل-متانول (۳۷b)

در طیف  $^1\text{H-NMR}$  این ترکیب که در حلال DMSO دوتره ثبت شده است، پروتون‌های حلقه‌های آромاتیک به صورت پیک چندتایی در ناحیه ppm ۷/۱-۷/۶ با سطح زیر پیک مربوط به ۵ هیدروژن، پروتون CH حلقه تریآزول به صورت پیک یکتایی در ppm ۸ با سطح زیر پیک یک هیدروژن و پروتون‌های گروه  $\text{CH}_2$  بنزیلی در ppm ۵/۵ با سطح زیر پیک دو هیدروژن ظاهر شده‌اند. پروتون OH که به وسیله  $\text{CH}_2$  شکافته شده است به صورت یک پیک سه‌تایی در ppm ۵/۲ با سطح زیر پیک یک هیدروژن و پروتون‌های  $\text{CH}_2$  که به گروه OH متصل است در ppm ۴/۵ با سطح زیر پیک دو هیدروژن ظاهر شده‌اند (طیف شماره ۳).

در طیف IR این ترکیب، جذب کششی (C=C) در ناحیه  $1650-1400\text{ cm}^{-1}$ ، جذب کششی گروه (OH) در  $3264\text{ cm}^{-1}$  و جذب کششی (CH) آромاتیک و آلیفاتیک به ترتیب در  $3160\text{ cm}^{-1}$  و  $841\text{ cm}^{-1}$  ظاهر شده‌اند. ارتعاشات خمثی خارج از صفحه‌ای حلقه‌ی آромاتیک در محدوده  $2930-694\text{ cm}^{-1}$  ظاهر شده‌اند (طیف شماره ۴).

### (۳۷c) ۱-بنزیل-۴-هگزیل-۱H-۳،۲،۱-تریآزول

در طیف  $^1\text{H-NMR}$  این ترکیب که در حلال DMSO دوتره ثبت شده است، پروتون‌های حلقه آромاتیک به صورت پیک چندتایی در جابه‌جایی شیمیایی ppm  $7/3$  با سطح زیر پیک ۵ هیدروژن، پروتون CH حلقه تریآزول به صورت پیک یکتایی در ppm  $7/9$  با سطح زیر پیک یک هیدروژن، پروتون  $\text{CH}_2$  بنزیلی در ppm  $5/5$  با سطح زیر پیک یک هیدروژن و پروتون‌های  $\text{C}_6\text{H}_{13}$  در ناحیه  $7-1/8/0$  ppm با سطح زیر پیک ۱۳ هیدروژن ظاهر شده‌اند (طیف شماره ۵).

طیف IR این ترکیب، جذب کششی (C=C) در ناحیه  $1491-1430\text{ cm}^{-1}$  و جذب کششی (CH) آروماتیک و آلیفاتیک به ترتیب در  $3136\text{ cm}^{-1}$  و  $2944\text{ cm}^{-1}$  ظاهر شده‌اند. ارتعاشات خمثی خارج از صفحه‌ای پیوندهای C-H حلقه‌ی آромاتیک در محدوده  $745-640\text{ cm}^{-1}$  ظاهر شده‌اند (طیف شماره ۶).

### (۳۷d) ۱-بنزیل-۴-بوتیل-۱H-۳،۲،۱-تریآزول

در طیف  $^1\text{H-NMR}$  این ترکیب که در حلال DMSO دوتره ثبت شده است، پروتون‌های حلقه فنیل به صورت پیک چندتایی در ناحیه ppm  $7-7/5$  با سطح زیر پیک پنج هیدروژن، پروتون CH مربوط به حلقه تریآزول در جابه‌جایی شیمیایی ppm  $7/8$  با سطح زیر پیک یک هیدروژن، پروتون  $\text{CH}_2$  بین حلقه فنیل و تریآزول در ppm  $5/4$  با سطح زیر پیک دو هیدروژن و پروتون‌های گروه

۱/۱-۱/۸ ppm در CH<sub>۲</sub> سه گروه های پروتون و هیدروژن زیر پیک ۳ با سطح ۰-۶/۰ دارند.

با سطح ۷ شماره (طیف شماره ۶) ظاهر شده‌اند.

در طیف IR این ترکیب، جذب کششی (C=C) در محدوده ۱۴۳۶-۱۵۴۲ cm<sup>-۱</sup> و جذب کششی (CH) آромاتیک و آلیفاتیک به ترتیب در ۳۱۲۰ cm<sup>-۱</sup> و ۲۹۲۸ cm<sup>-۱</sup> ظاهر شده‌اند. ارتعاشات خمثی خارج از صفحه‌ای پیوندهای C-H حلقه‌ی آромاتیک در محدوده ۶۹۴-۷۴۵ cm<sup>-۱</sup> ظاهر شده‌اند (طیف شماره ۸).

### (۳۷e) ۲- بوتیل-۴-فنیل-۱H-۳،۲،۱-تریآزول

در طیف <sup>۱</sup>H-NMR این ترکیب که در حلال DMSO دوتره ثبت شده است، پروتون‌های حلقه آромاتیک به صورت پیک چندتایی در ناحیه ۷/۹-۷/۲۵ ppm با سطح ۵ هیدروژن، پروتون CH حلقه تری-آزول به صورت پیک یکتایی در جایی شیمیایی ۸/۶ ppm با سطح ۱-آزول زیر پیک یک هیدروژن و پروتون CH<sub>۲</sub> متصل به حلقه تری-آزول به صورت پیک سه‌تایی که توسط پروتون‌های مجاور شکافته شده در جایی شیمیایی ۴/۴ ppm با سطح ۲-آزول زیر پیک دو هیدروژن ظاهر شده‌اند. پروتون‌های CH<sub>۲</sub> که با حلقه تری-آزول به اندازه یک کربن فاصله دارد به صورت پیک پنج تایی در ۱/۵-۲/۱۵ ppm با سطح ۱-آزول زیر پیک دو هیدروژن، پروتون‌های CH<sub>۲</sub> با فاصله دو کربن از حلقه تری-آزول به صورت پیک شش تایی در ۱/۱-۱/۶ ppm با سطح ۱-آزول زیر پیک دو هیدروژن و در نهایت پروتون‌های CH<sub>۲</sub> بصورت پیک سه‌تایی در ۱/۱-۰/۷ ppm با سطح ۳-آزول زیر پیک سه هیدروژن ظاهر شده‌اند (طیف شماره ۹).

در طیف IR این ترکیب، جذب کششی (C=C) در محدوده ۱۴۳۰-۱۵۲۰ cm<sup>-۱</sup> و جذب کششی (CH) آромاتیک و آلیفاتیک به ترتیب در ۳۱۲۰ cm<sup>-۱</sup> و ۲۹۶۰ cm<sup>-۱</sup> ظاهر شده‌اند. ارتعاشات خمثی

خارج از صفحه‌ای پیوندهای C-H حلقه‌ی آромاتیک در محدوده  $691\text{--}838\text{ cm}^{-1}$  ظاهر شده‌اند (طیف شماره ۱۰).

### (۳۷f) ۲-تربی‌آزول-۱H-فنیل-۴-پروپیل-۶-

در طیف H-NMR<sup>۱</sup> این ترکیب که در حلال DMSO دو تره ثبت شده است، پروتون مربوط به CH حلقه تربی‌آزول به صورت پیک یکتایی در جایه‌جایی شیمیایی ppm ۸/۵ با سطح زیر پیک یک هیدروژن، پروتون‌های حلقه فنیل در ppm ۷/۹-۷/۲ با سطح زیر پیک پنج هیدروژن، پروتون‌های C<sub>2</sub>H<sub>۵</sub> متصل به حلقه تربی‌آزول در ppm ۴/۵-۴/۲ با سطح زیر پیک دو هیدروژن و پروتون‌های CH<sub>۲</sub> در ناحیه ppm ۷/۰-۷/۲ با سطح زیر پیک مربوط به پنج هیدروژن ظاهر شده‌اند (طیف شماره ۱۱).

در طیف IR این ترکیب، جذب کششی (C=C) در محدوده  $1475\text{--}1600\text{ cm}^{-1}$  و جذب کششی (CH) آромاتیک و آلیفاتیک به ترتیب در  $3104\text{ cm}^{-1}$  و  $2960\text{ cm}^{-1}$  ظاهر شده‌اند. ارتعاشات خمسی خارج از صفحه‌ای پیوندهای C-H حلقه‌ی آромاتیک در محدوده  $650\text{--}832\text{ cm}^{-1}$  ظاهر شده‌اند (طیف شماره ۱۲).

## ۸-۲) نتیجه‌گیری

در این پژوهش مشتقات جدیدی از ۳،۲،۱-تریآزول از واکنش آلکیل‌هالید با آلکین‌های انتهاهای در حضور سدیم آزید با استفاده از کاتالیزگر مس(I)یدید ثبیت شده روی پودر پوسته تخمرغ سنتز گردید. از ویژگی‌های این روش می‌توان به موارد زیر اشاره کرد:

۱- انجام واکنش در دمای اتاق و بدون نیاز به جو خنثی و رفلaks

۲- قابل بازیافت بودن کاتالیزگر

۳- بهره بالای واکنش

۴- تک ظرفی بودن واکنش که نیازی به جداسازی واسطه‌ها نیست در نتیجه بازده واکنش کاهش

نمی‌یابد.

۵- جداسازی آسان کاتالیزگر با استفاده از حلal کلروفرم

۶- غیر سمی بودن کاتالیزگر و سازگاری آن با محیط زیست

۷- انجام واکنش در یک حلal بی‌خطر

## ۹-۲ آینده‌نگری

کشف ترکیبات دارویی جدید با فعالیت ضد سرطانی یکی از اهداف مهم در شیمی درمانی می‌باشد. با توجه به این که حضور دو یا چند هسته فعال دارویی در یک ساختار واحد، سبب تقویت فعالیت بیولوژیکی و یا ایجاد خواص بیولوژیکی برای آن ترکیب می‌گردد بهتر است راهکارهای مفید جهت سنتز بسیاری از ساختارهای هتروسیکل متصل شده به حلقه تری‌آزول گزارش کنیم؛ که با بهره‌گیری از این استراتژی مفید، مشتقات جدیدی از ترکیبات هتروسیکل متنوع از طریق واکنش‌های تک ظرفی تهیه شود.



# فصل سوم

بخش تجربی

## ۳) بخش تجربی

### ۱-۳) دستگاه‌ها

طیف‌های رزونانس مغناطیسی هسته‌ای هیدروژن ( $^1\text{H-NMR}$ ) با میدان MHz ۸۰ توسط بخش آنالیز دستگاهی دانشگاه شاهرود انجام گرفته است. چندگانگی رزونانس مغناطیسی هسته به صورت یکتایی (s)، دوتایی (d)، سه تایی (t)، چند تایی (m)، و پهن (br)، مشخص شده‌اند. از (TMS) نیز به عنوان استاندارد داخلی استفاده شده است.

طیف‌های مادون قرمز (IR)، با استفاده از دستگاه Shimadzu ۴۷۰ IR Spectrometer ثبت گردیده‌اند. طیف‌های ترکیبات جامد به صورت قرص‌های KBr گرفته شده است. فرکانس‌های ارتعاشی در واحد عدد موجی ( $\text{cm}^{-1}$ ) می‌باشد.

نقاط ذوب ترکیبات با استفاده از دستگاه Bamstead / Electrotherma اندازه‌گیری شده است.

### ۲-۳) مواد اولیه

مواد اولیه از شرکت‌های تجاری اکروس<sup>۱</sup>، فلوكا<sup>۲</sup> و مرک<sup>۳</sup> خریداری شده است.

---

<sup>۱</sup>. Across

<sup>۲</sup>. Fluka

<sup>۳</sup>. Merck

### ۳-۳) تهیه کاتالیزگر مس (I) یدید ثبیت شده روی پودر پوسته تخمرغ

در تهیه کاتالیست ابتدا پوسته تخمرغ با آب گرم شسته شد. پوسته نازک داخلی به راحتی با شستشو از بین می‌رود. پوسته تخمرغ جهت خشک شدن در دمای  $70^{\circ}\text{C}$  درجه سانتی‌گراد به مدت دو ساعت درون آون قرار گرفت. برای خرد کردن و آسیاب کردن پوسته تخمرغ از هاون دستی و دستگاه بالمیل<sup>۱</sup> استفاده شد. ذرات کاملاً به صورت پودری یکنواخت با دانه‌های بسیار ریز تهیه شدند. در ادامه، جهت پاکسازی سطح پوسته تخمرغ از مواد زائد آلی، از حلال دی‌کلرومتان استفاده شد، به این صورت که مخلوط دی‌کلرومتان و پوسته تخمرغ در حمام التراسونیک در دمای  $40^{\circ}\text{C}$  به مدت ۲۰ دقیقه قرار داده شد. پس از سانتریفیوژ کردن و خشک شدن، به ازای هر گرم از پودر پوسته تخمرغ، میزان یک میلی مول ( $0.2\text{g}$ ) از نمک مس(I) یدید در حلال دی‌متیل فرمامید در جو آرگون و دمای  $70^{\circ}\text{C}$  به آن اضافه گردید. پس از ۵ ساعت کاتالیسیت جمع آوری شد و با استفاده از حلال‌های متانول و استون به خوبی شستشو داده شد و در نهایت پس از خشک شدن مورد استفاده قرار گرفت.

### ۴-۳) تهیه مشتقات ۱،۲،۳-تری‌آزول‌های استخلاف شده در موقعیت‌های ۱ و ۴

مخلوطی از مشتقات آلکیل‌هالید ( $1\text{mmol}$ )، آلکین انتهایی ( $1\text{mmol}$ )، سدیم‌آزید ( $0.65\text{g}$ ) و مس(I) یدید ثبیت شده روی پودر پوسته تخمرغ ( $0.2\text{g}$ ) در حلال آب ( $10\text{ml}$ ) به مدت ۱۰ ساعت همزده شد. رسوب حاصل با کلروفرم ( $10\text{ml}$ ) استخراج گردید. به محلول،  $\text{MgSO}_4$  اضافه و صاف شد. پس از تبخیر حلال، محصول (۳۳a) توسط اتانول و مشتقات دیگر (۳۳f) توسط اتانول و آب نوبلور شد. دمای ذوب، بهره واکنش و مشخصات طیفی ترکیبات سنتز شده به صورت زیر می‌باشد:

۱. Ballmill

(۳۷a) ۱-بنزیل-۴-فنیل-۱H-۳،۲،۱-تریآزول

دماه ذوب: ۱۲۸-۱۳۰ °C  
بهره واکنش:٪.۸۵

<sup>1</sup>H-NMR, δ (λ· MHz DMSO-d<sub>6</sub>), ۷/۲-۷/۹ (m, ۱H, ArH), ۸/۶ (s, ۱H, CH), ۵/۶(s, ۲H, CH<sub>۲</sub>); IR, (KBr, cm<sup>-۱</sup>): ۱۴۴۰-۱۴۸۴ (C=C), ۶۹۰-۷۶۴ (CH, oop)

(۳۷b) ۱-بنزیل-۱H-۳،۲،۱-تریآزول-۴-ایل-متانول

دماه ذوب: ۷۸-۸۰ °C  
بهره واکنش:٪.۸۱

<sup>1</sup>H-NMR, δ (λ· MHz DMSO-d<sub>6</sub> ), ۷/۱-۷/۶ (m, ۵H, ArH), ۸ (s, ۱H, CH), ۵/۵(s, ۲H,CH<sub>۲</sub>), ۵/۲ (t, ۱H, OH), ۴/۵ (d, ۲H, CH<sub>۲</sub>); IR, (KBr, cm<sup>-۱</sup>): ۳۲۶۴ (OH), ۱۴۰۰-۱۶۵۰ (C=C).

(۳۷c) ۱-بنزیل-۴-هگزیل-۱H-۳،۲،۱-تریآزول

دماه ذوب: ۶۷-۶۸ °C  
بهره واکنش:٪.۷۹

H-NMR, δ (λ· MHz DMSO-d<sub>6</sub>), ۷/۳ (m, ۵H, ArH), ۷/۹ (s, ۱H, CH), ۵/۵ ( s, ۲H, CH<sub>۲</sub>), ۰/۷-۱/۸ (m, ۱۳H, C<sub>۷</sub>H<sub>۱۳</sub>); IR, (KBr): ۱۴۳۰-۱۴۹۱ (C=C), ۶۴۰-۷۴۵ (CH, oop)

(۳۷d) ۱-بنزیل-۴-بوتیل-۱H-۳،۲،۱-تریآزول

دماه ذوب: ۷۶ °C/۵۹-۶۱  
بهره واکنش:٪.۷۶

H-NMR, δ (λ· MHz DMSO-d<sub>6</sub>), ۷-۷/۵ (m, ۵H, ArH), ۷/۸ (s, ۱H, CH), ۵/۴ (s, ۲H, CH<sub>۲</sub>), ۰/۶-۱/۸ (m, ۹H, C<sub>۷</sub>H<sub>۹</sub>); IR, (KBr): ۱۴۳۰-۱۵۴۲ (C=C), ۶۹۴-۷۴۵ (CH, oop)

(۳۷e) ۱-بوتيل-۴-فنيل-۱H-۳،۲،۱-ترىآزول (۵-۴-۳)

بهره واکنش:٪۷۷

دماي ذوب: ۵۴-۵۶ °C

H-NMR, δ (λ· MHz DMSO-d<sub>6</sub>), ۷/۲۵-۷/۹ (m, δH, ArH), ۸/۶ (s, ۱H, CH), ۴/۴ (t, ۲H, CH<sub>۲</sub>), ۱/۶-۲/۱۵ (m, ۲H, CH<sub>۲</sub>), ۱/۱-۱/۶ (m, ۲H, CH<sub>۲</sub>), ۰/۷-۱/۱ (t, ۳H, CH<sub>۲</sub>); IR, (KBr): ۱۴۳۰-۱۵۲۰ (C=C), ۶۹۱-۸۳۸ (CH, oop)

(۳۷f) ۱-پروپيل-۴-فنيل-۱H-۳،۲،۱-ترىآزول (۶-۴-۳)

بهره واکنش:٪۷۳

دماي ذوب: ۴۸-۵۰ °C

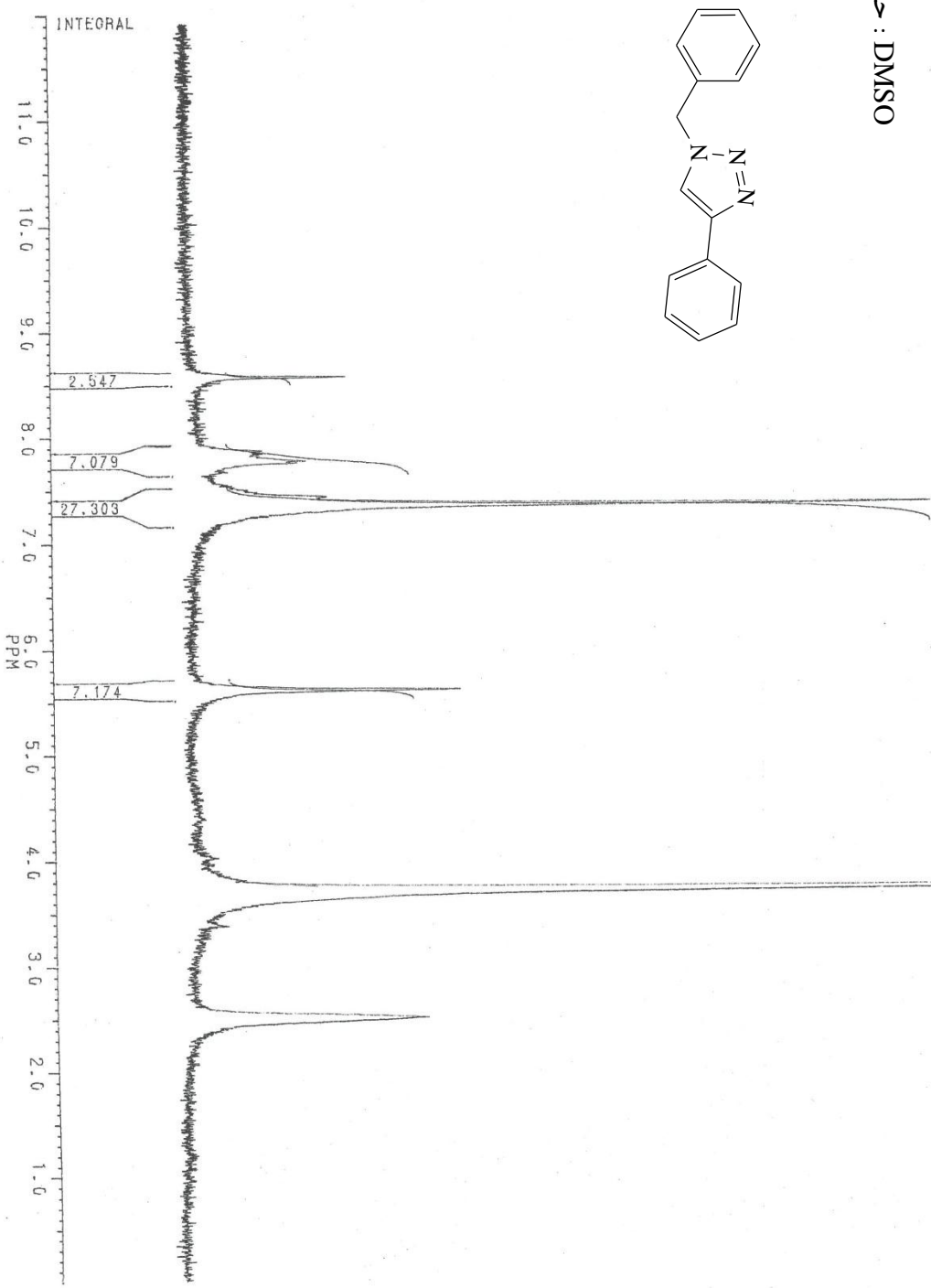
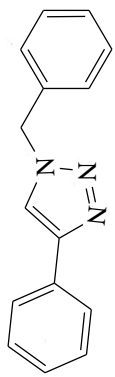
H-NMR, δ (λ· MHz DMSO-d<sub>6</sub>), ۷/۲-۷/۹ (m, δH, ArH), ۸/۵ (s, ۱H, CH), ۴/۴-۴/۵ (t, ۲H, CH<sub>۲</sub>), ۰/۷-۲/۲ (m, δH, C<sub>۲</sub>H<sub>۵</sub>), IR, (KBr): ۱۴۷۵-۱۶۰۰ (C=C), ۶۵۰-۸۳۲ (CH, oop)



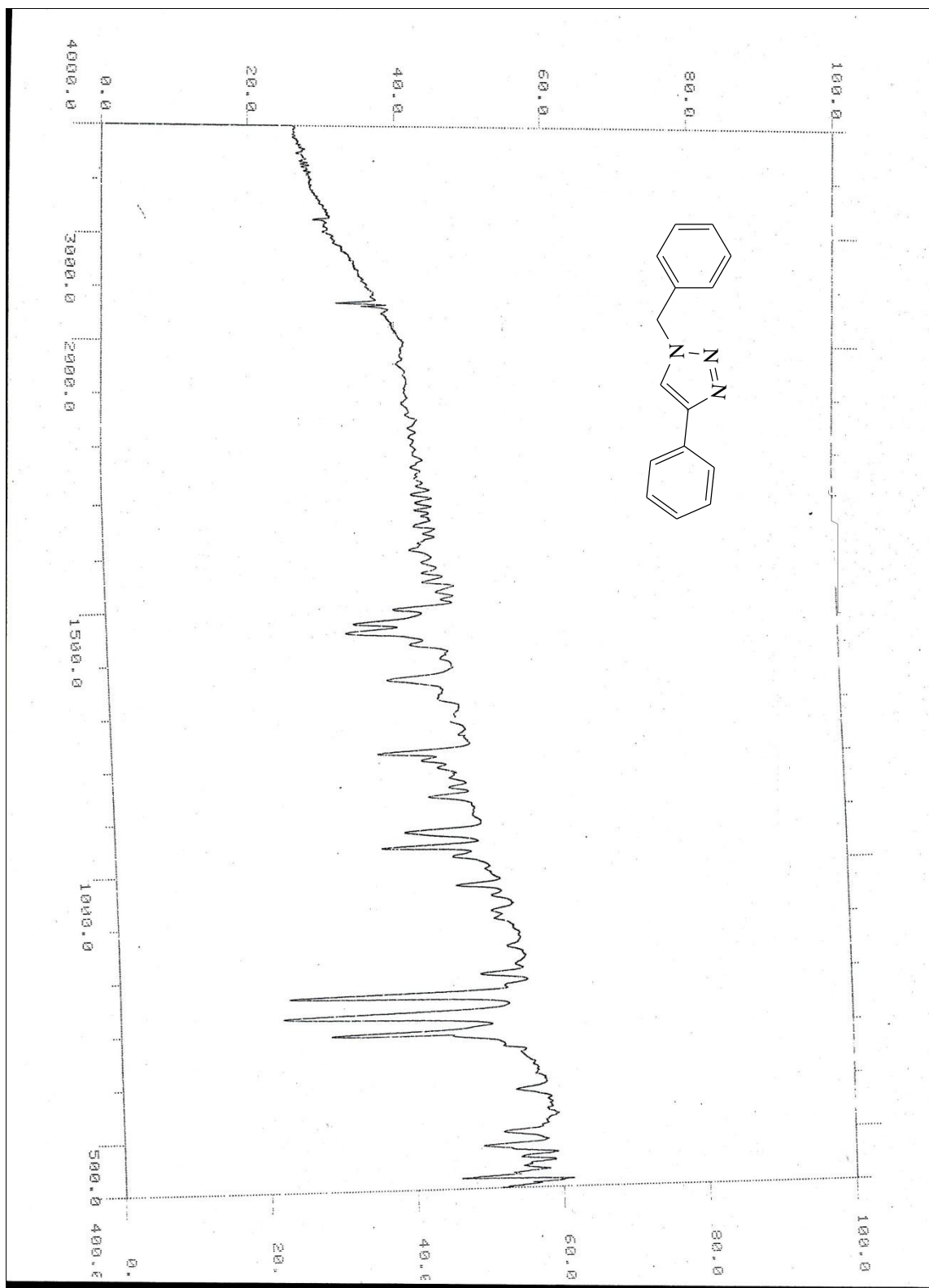
# ضمیمه

$^1\text{H-NMR}$  و IR طیف‌های

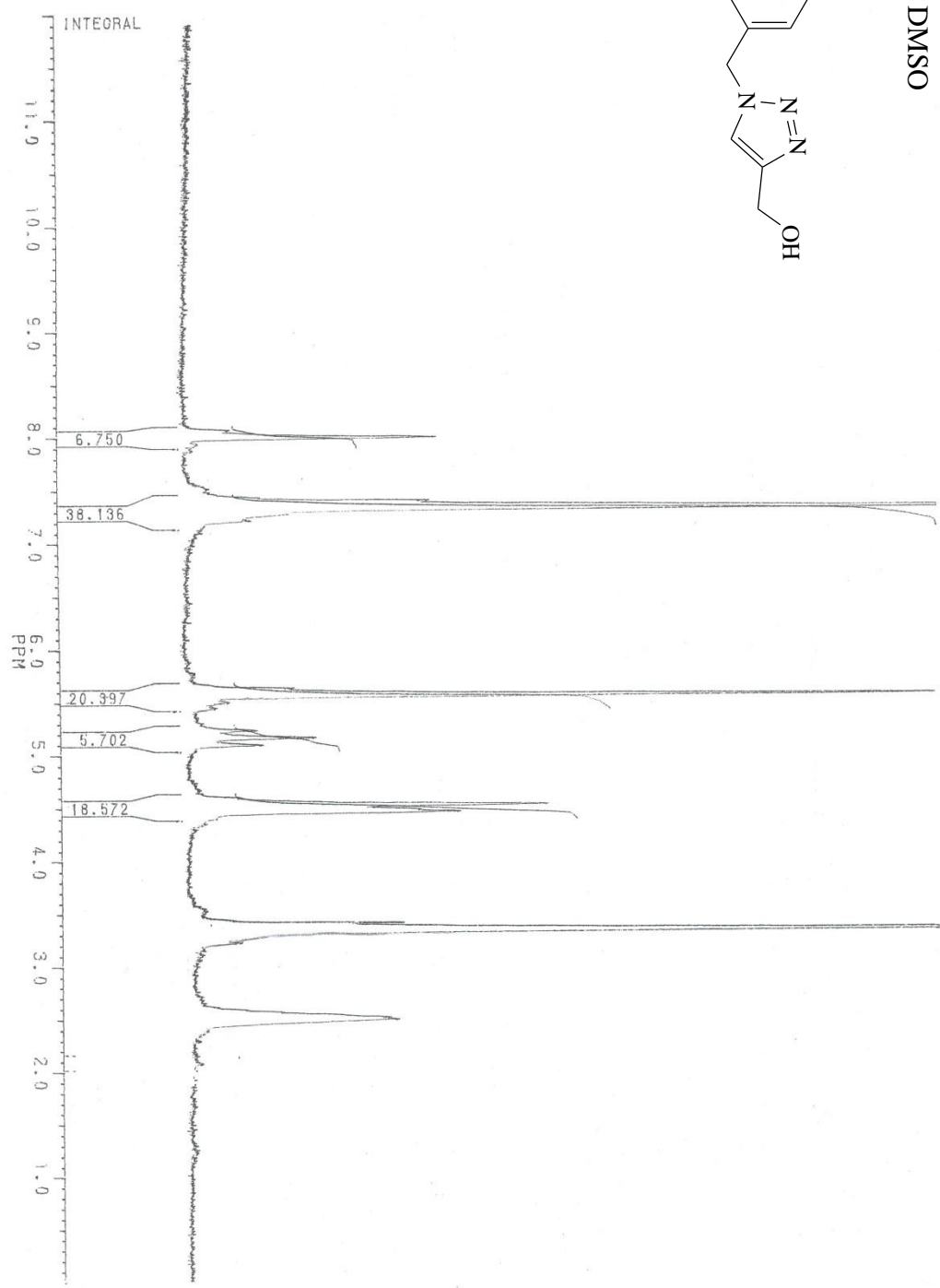
جلا : DMSO



طیف شماره ۱: ترکیب ۱-بنزیل-۴-فنیل-۱H-تریآزول

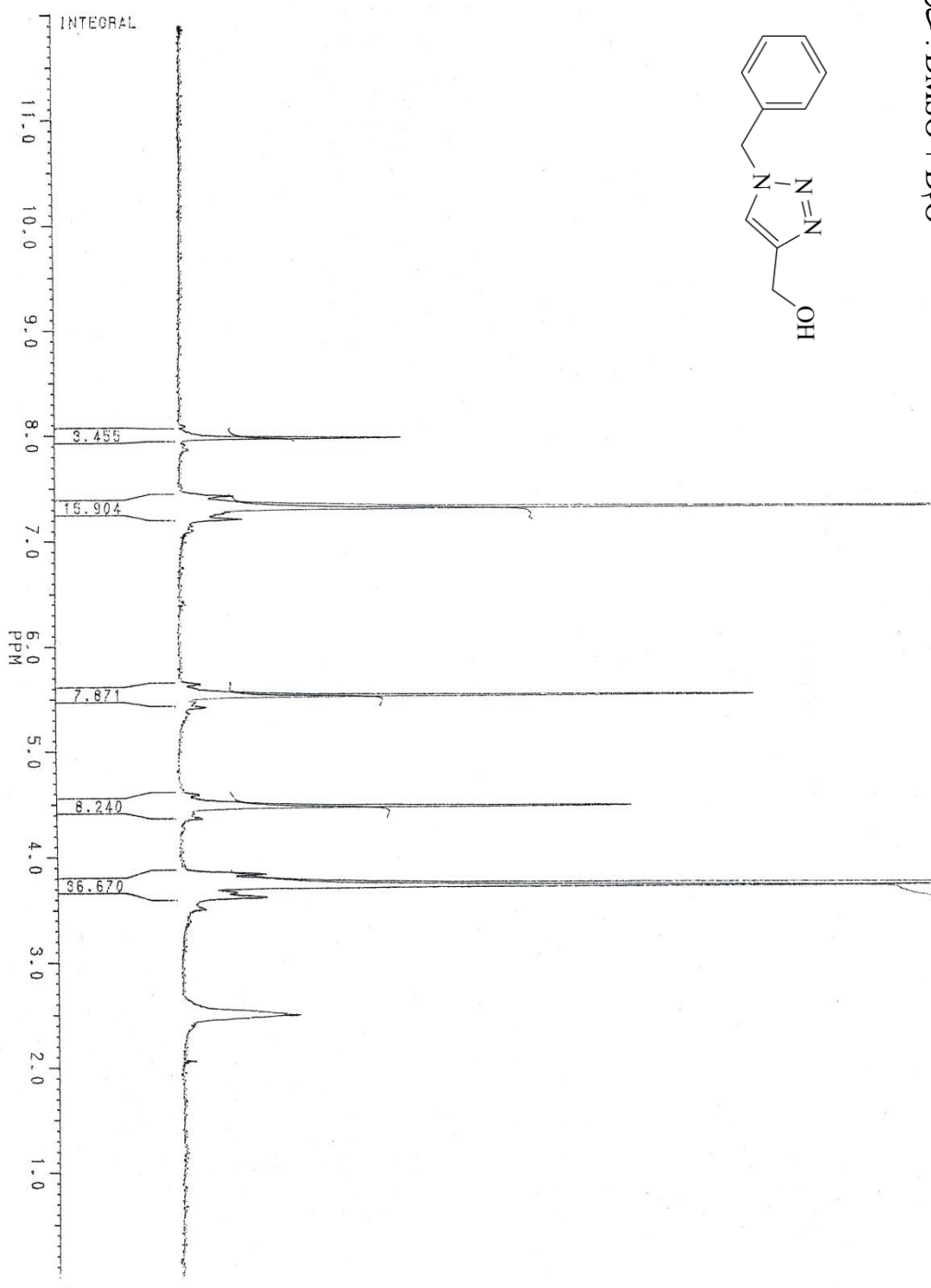
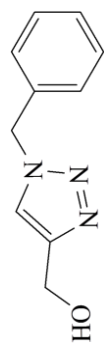


$\delta$  : DMSO



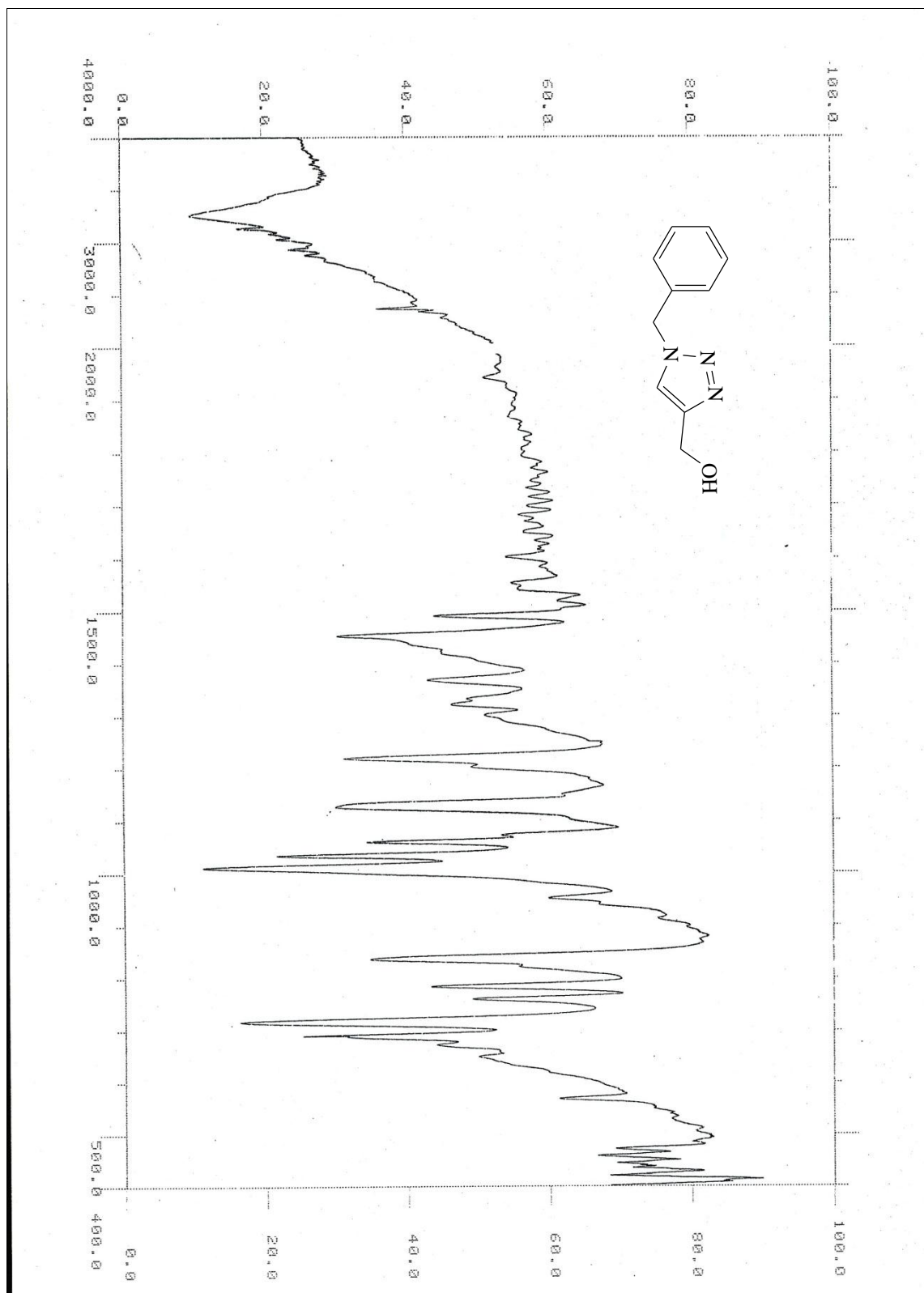
طیف شماره ۳ (الف) : ترکیب ۱-بنزیل-۴-ایل-۳-تریاژول-۱H-متانول

$\Delta\delta$  : DMSO + D<sub>2</sub>O

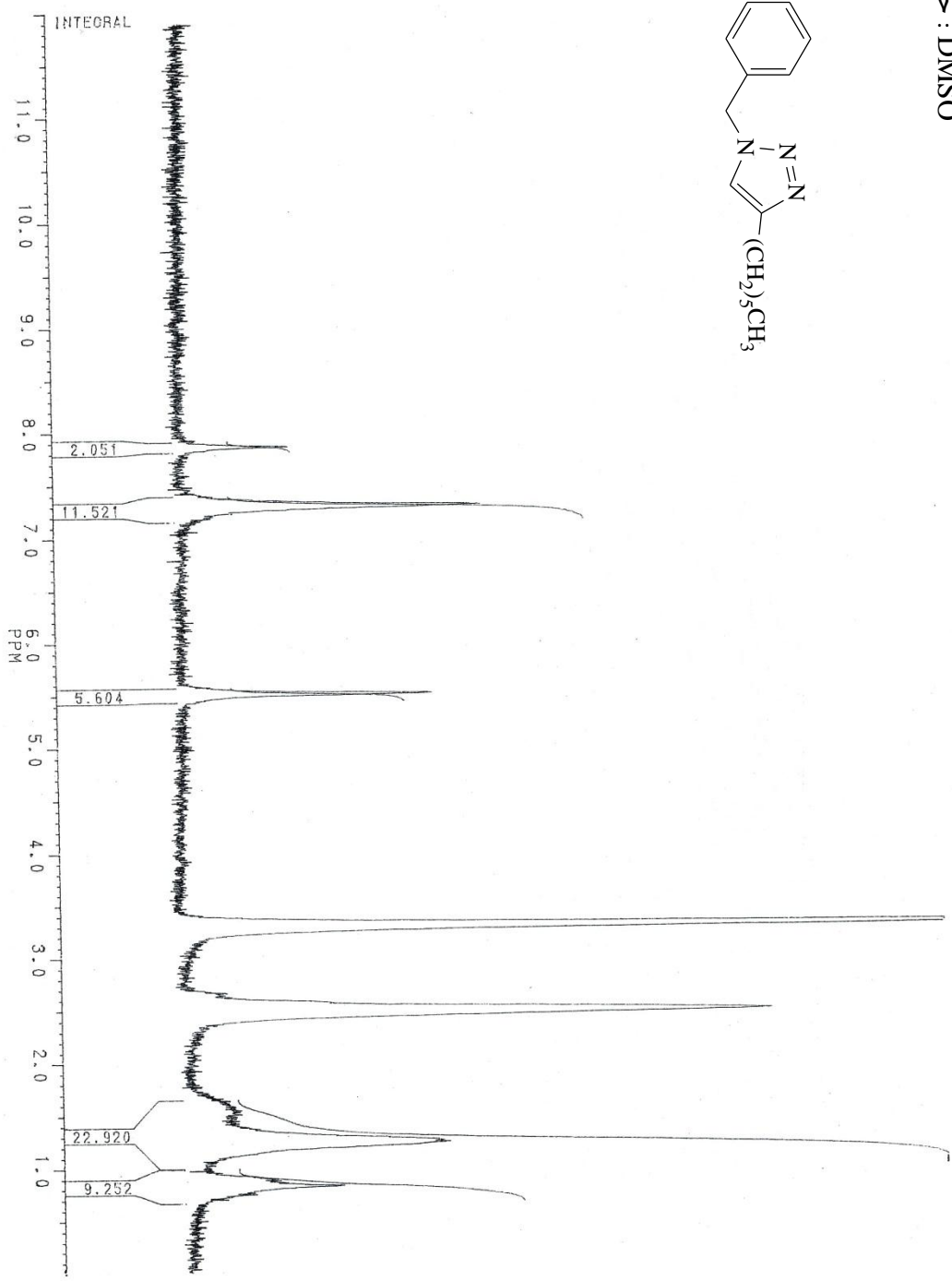
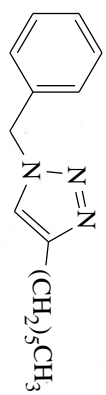


مذکور-ازول-۴-ایل-تری-۱-هیدرو-۲-نیکب (ب) : کیپ-۱-نیز-۳-شمالی

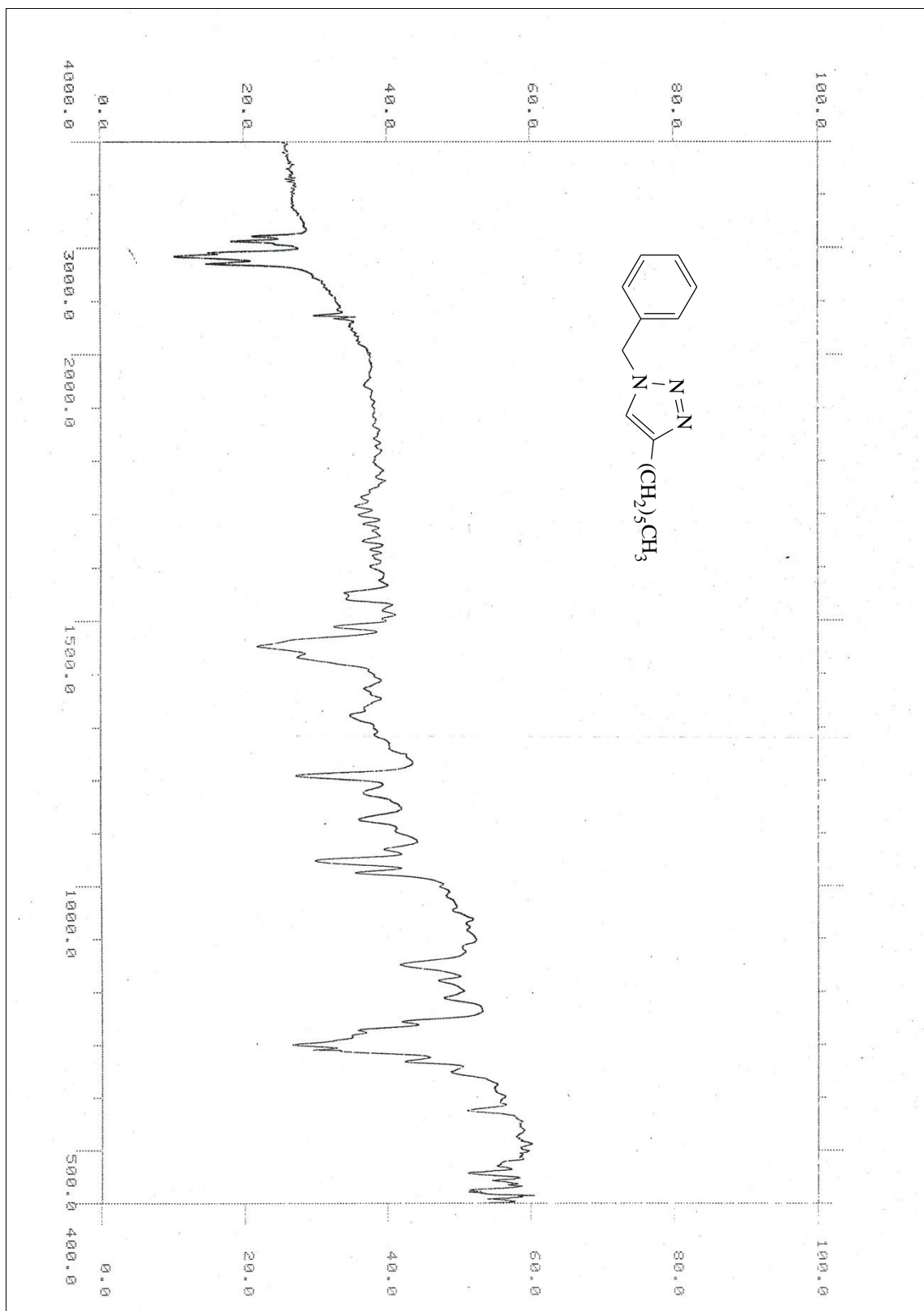
طیف شماره ۴؛ ترکیب ۱-بنزیل-۳،۲،۱-۱H-تریازول-۴-ایل-متانول



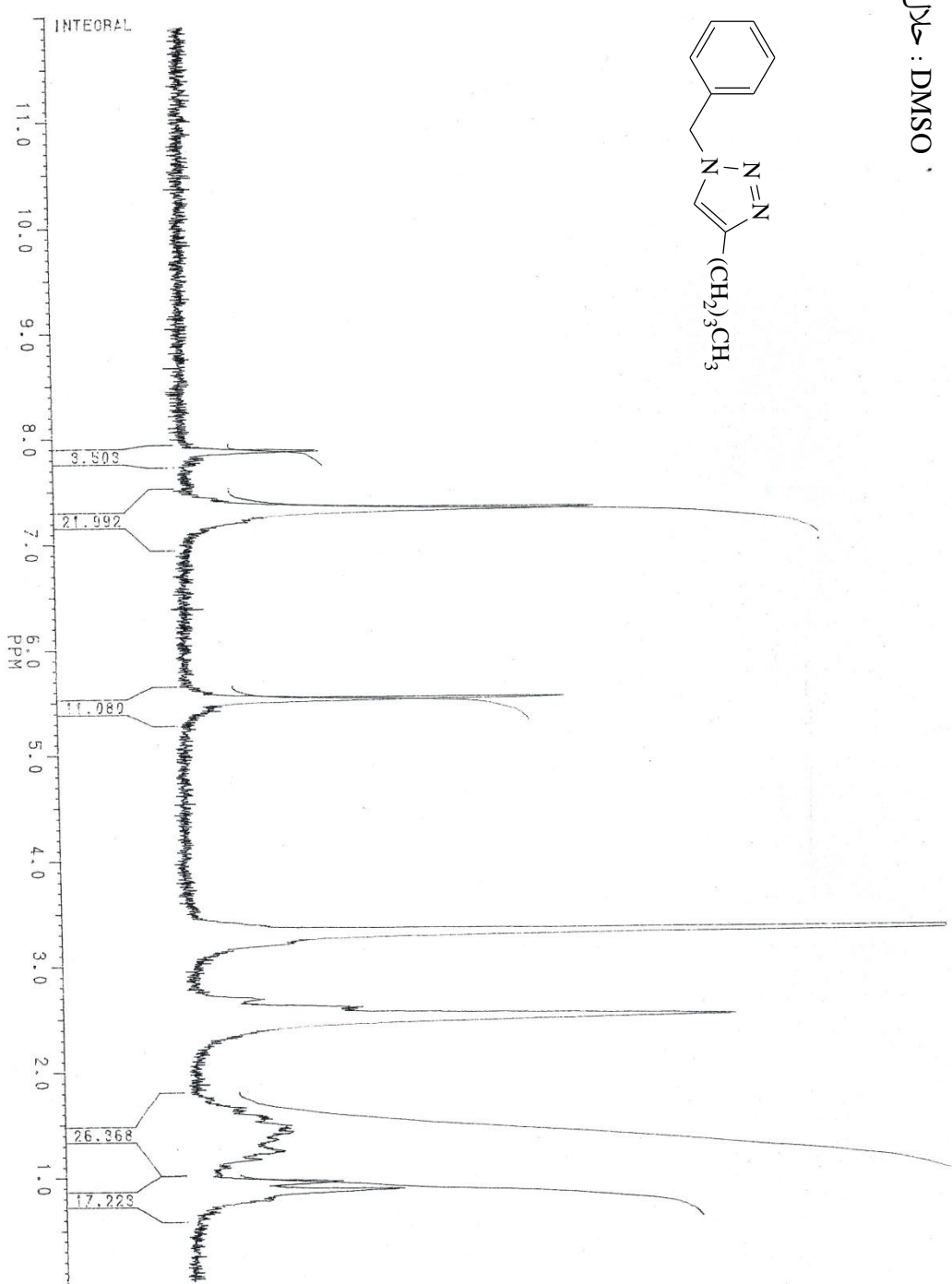
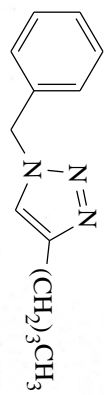
JΔ : DMSO



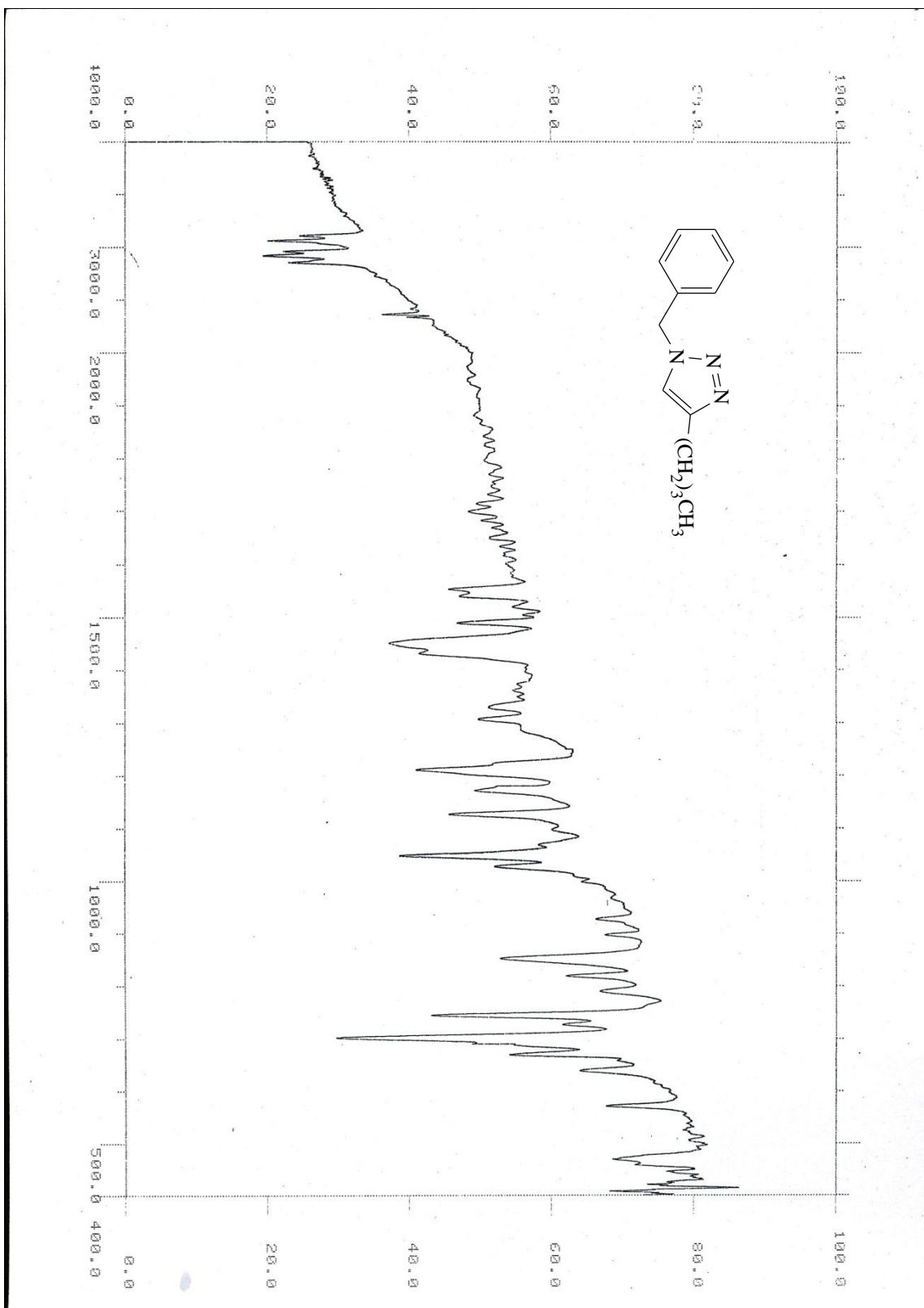
صلیف شماره ۵: ترکیب ۱-بتریل-۴-مگریل-H-۱۰-۲،۰،۱-تریازول



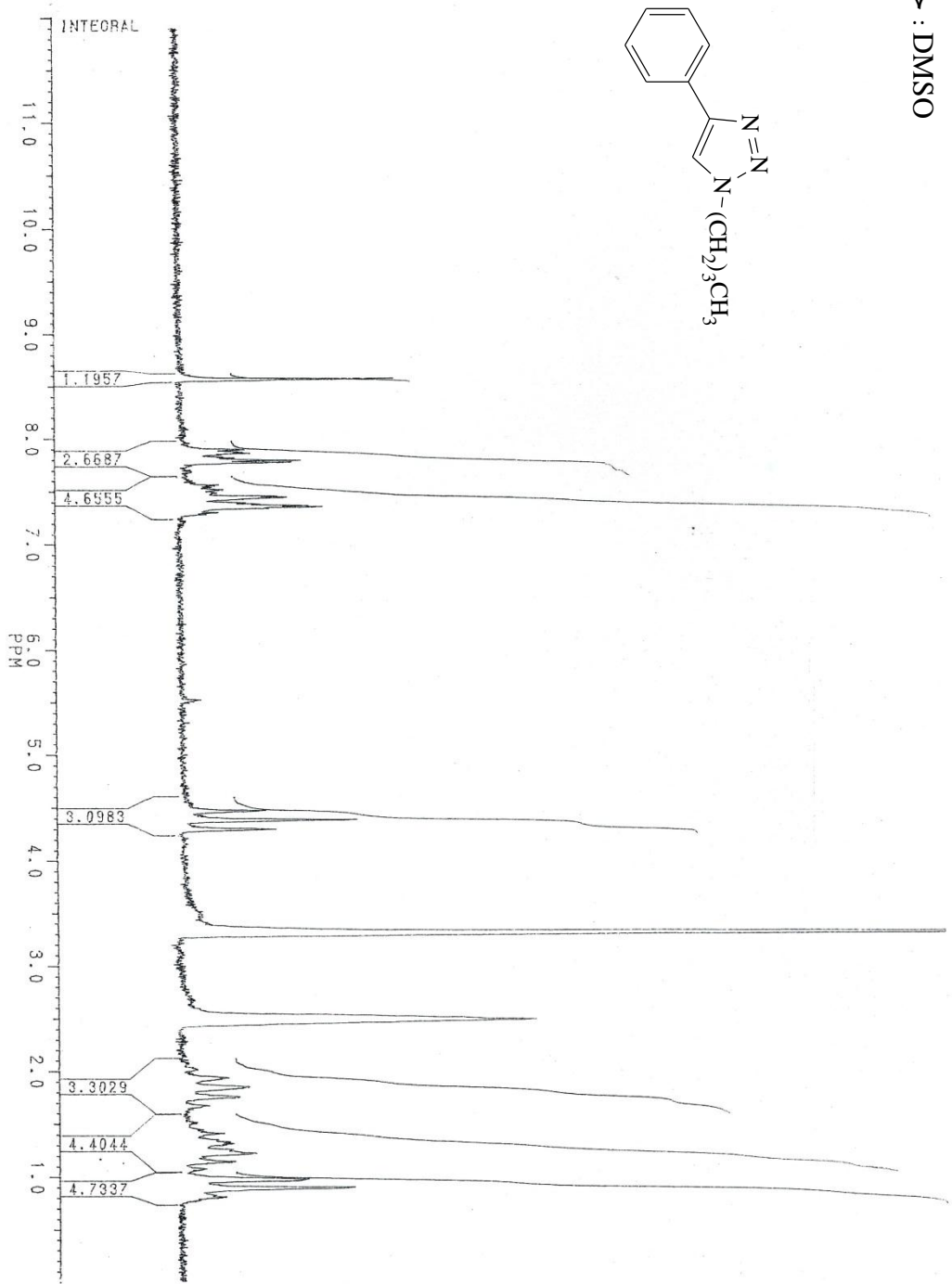
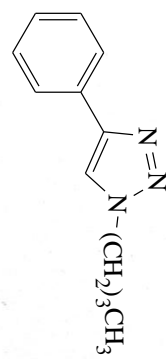
$\delta$ : DMSO



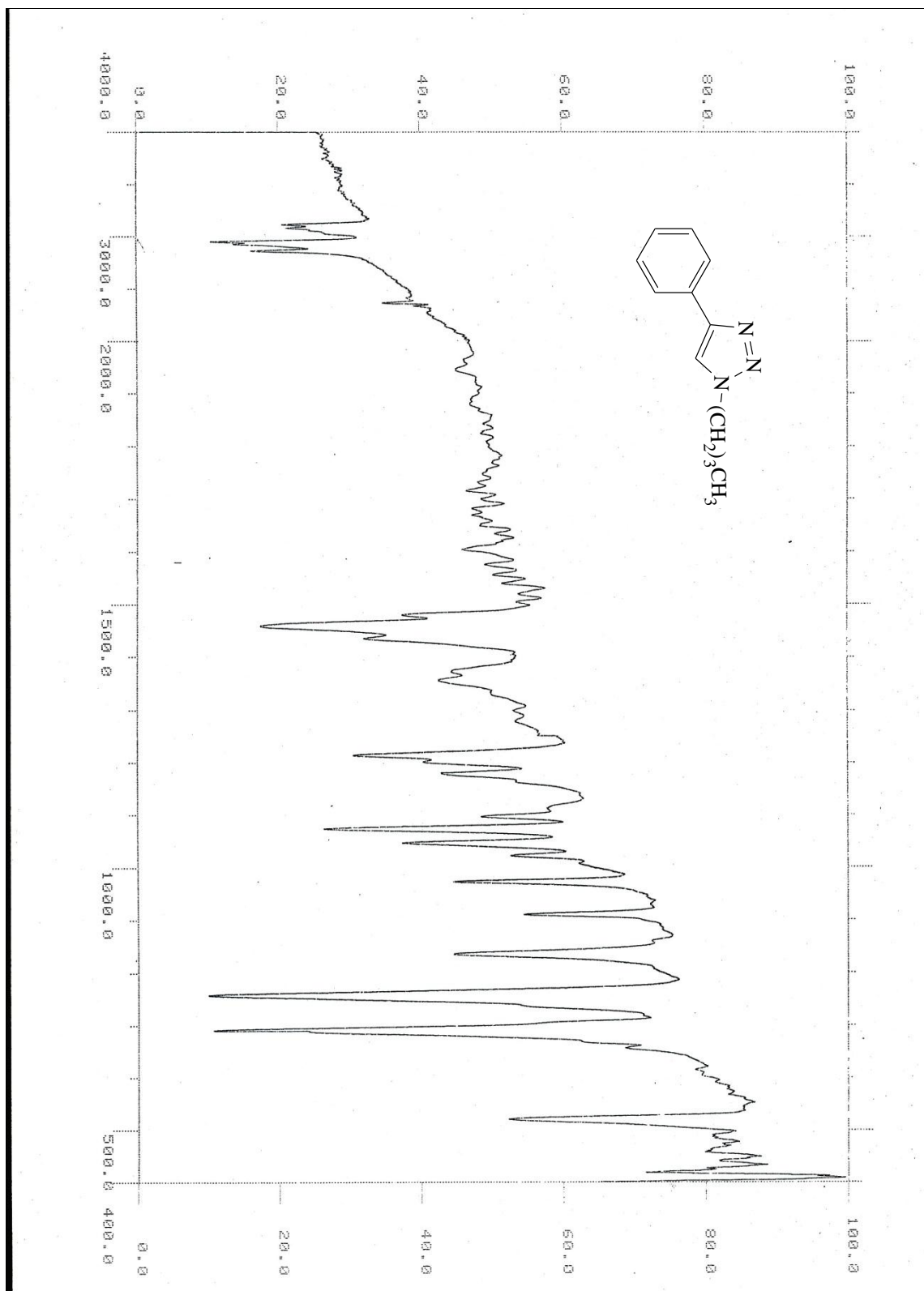
مطیف شماره ۷ : ترکیب ۱-بتریل-۴-بوتیل-۱H-تریازول



$\downarrow \searrow$  : DMSO

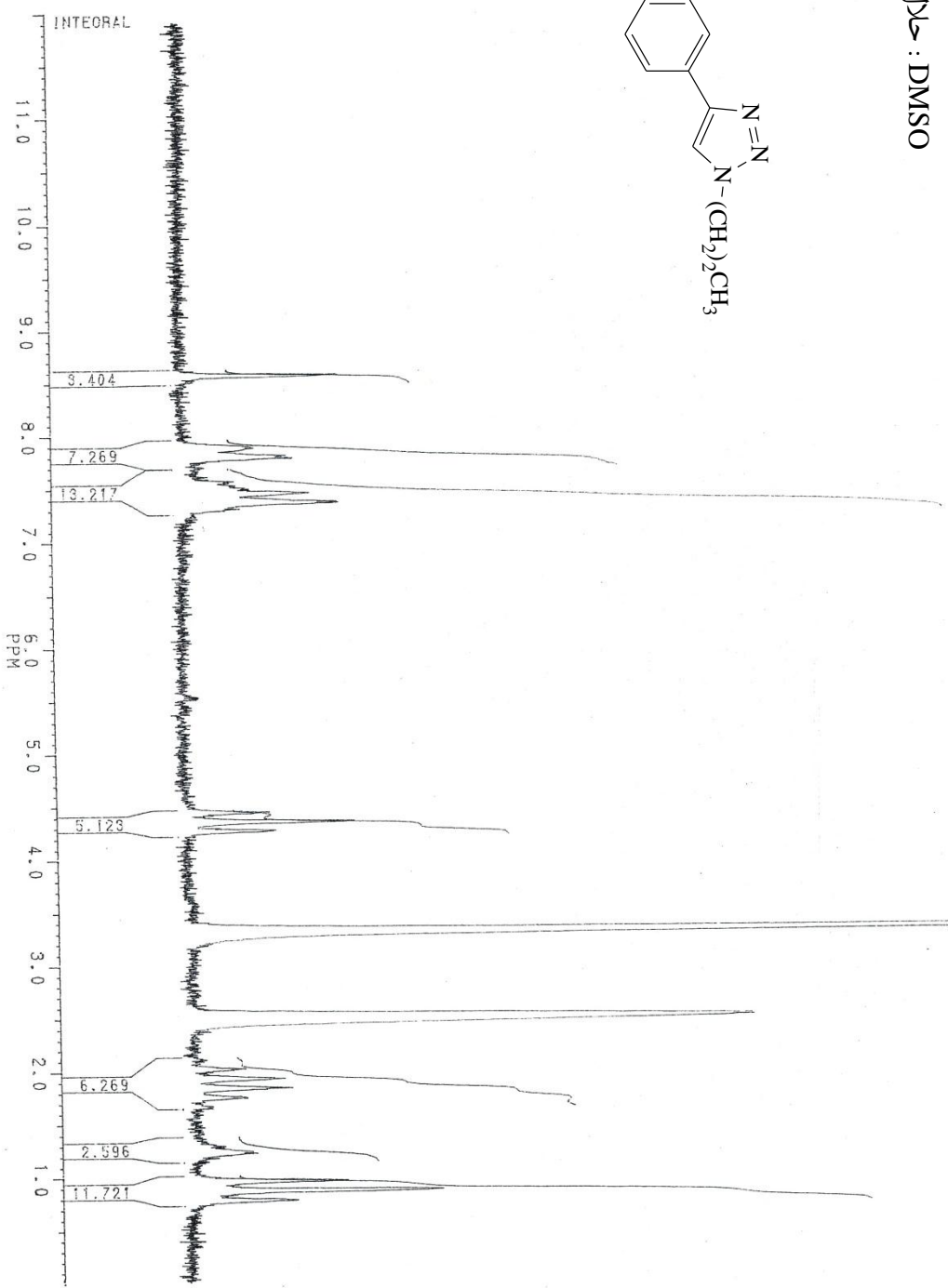
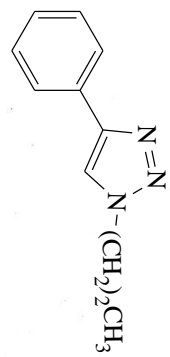


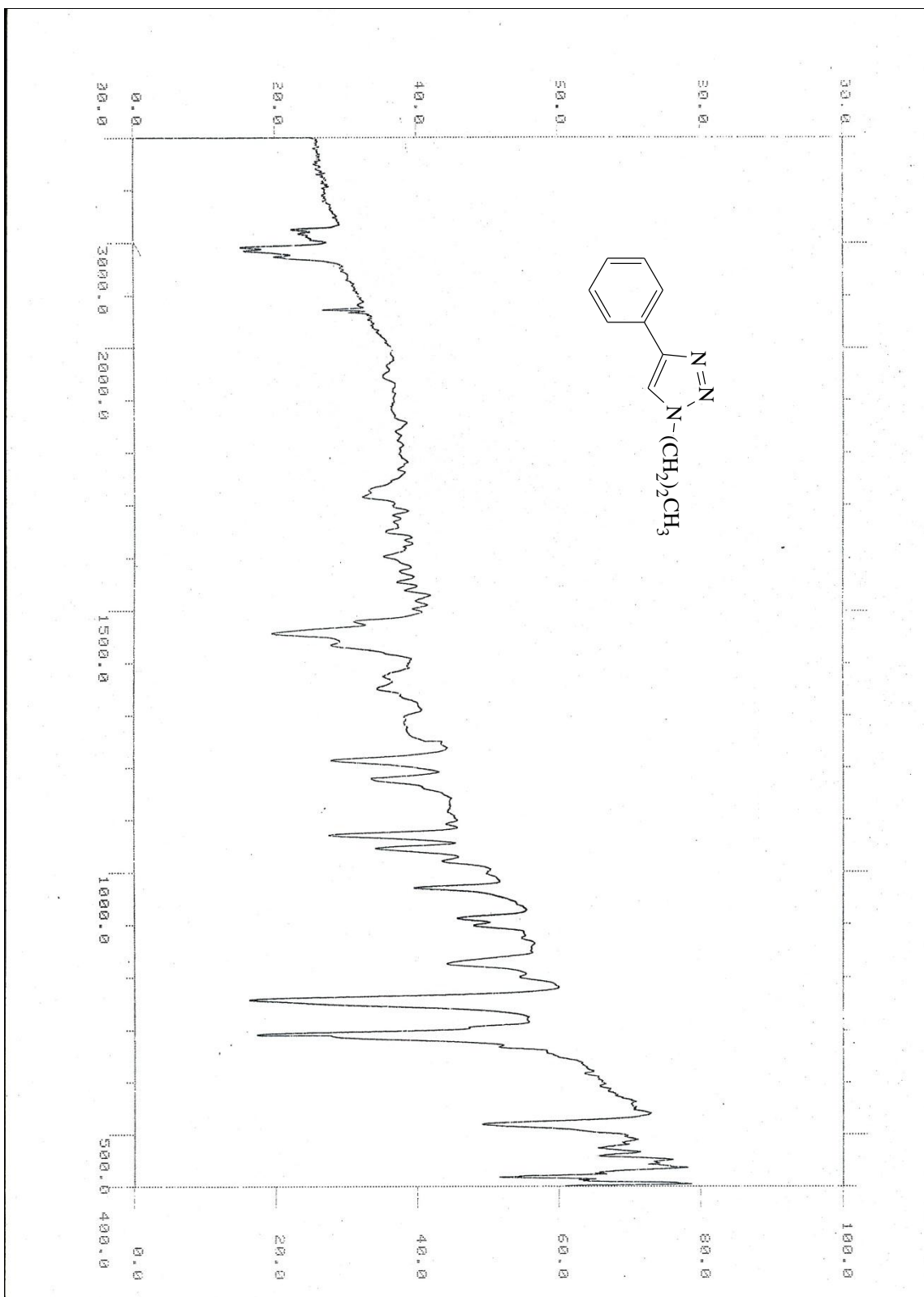
طیف شماره ۹ : ترکیب ۱ - بوتیل - ۴ - فنیل - ۱H - ۳،۲،۱-تری آزول



طیف شماره ۱۰ : ترکیب ۱- بوتیل-۴- فنیل- ۱H-۳,۲,۱- تری ازول

J<sub>DMSO</sub>





طیف شماره ۱۲ : ترکیب ۱-پروپیل-۴-فنیل-۱H-۳،۲،۱-تریازول

# مراجع

## References

१. S. Nadeem, A. Waquar, A. M. Shamsher, A. Ruhi, J. Sanjay, A. Bishmillah, A. Jawaid (२०११) *Int. J. Pharm. Sci. Rev. Res.*, ८, १, PP १६१.
२. T. L. Gilchrist, G. E. Gymer, H. Prentice (१९७४) In *Adv. Heterocycl. Chem.*, १६, PP ३३.
३. H. Wamhoff (१९८५) In *Comprehensive Heterocyclic Chemistry*; Katritzky, A. R., Rees, C. W., Eds.; Pergamon: Oxford., Vol. ८, PP ६६९.
४. K. Jacob, A. Stolle, B. Ondruschka, K. D. Jandt, T. F. Keller (२०१३) *Appl. Catal., A:Gen.*, ४८१, PP ९८.
५. A. Keivanloo, M. Bakherad, B. Bahramian, S. Baratnia (२०११) *Tetrahedron Lett.*, ५२, PP ४९४.
६. (a) P. H. Olesen, F. E. Nielsen, E. B. Pedersen, J. Becher (१९८५) *J. Heterocycl. Chem.*, २१, PP १६०३; (b) D. R. Buckle, C. J. M. Rockell (१९८२) *J. Chem. Soc, Perkin Trans.*, १, PP ६२७; (c) G. Labbe, L. Beenarts (१९८७) *Tetrahedron.*, ४८, PP ७४९.
७. Y.-M. Wu, J. Deng, X. Fang, Q.-Y. Chen (२००५) *J. Fluorine Chem.*, १२८, PP १४१५.
८. G. Molteni, A. Ponti (२००६) *Arkivok.*, (xvi), PP ४९.
९. B. Sreedhar, P. S. Reddy, N. S. Kumar (२००६) *Tetrahedron Lett.*, ४७, PP २०००.
१०. G. Bolis, D. Pocar, R. Stradi, P. Trimarco (१९७७) *J. Chem. Soc, Perkin Trans.*, १, PP २३६०.
११. (a) M. Journet, D. Cai, J. J. Kowal, R. D. Larsen (२००१) *Tetrahedron Lett.*, ४२, PP १११८; (b) F. P. Woerner, H. Reimlinger (१९७०) *Chem.Ber.*, १०३, PP १९०८; (c) M. G. Marei, M. El-Ghanam, M. M. Salem (१९९५) *Bull. Chem. Soc. Jpn.*, ६८, PP १४५.
१२. M. M. Andrade, M. T. Barros (२००९) *Arkivok.*, (Xi), PP २९९.
१३. N. Li, D. Wang, W. Shi, C. Li, B. Chen (२०११) *Tetrahedron Lett.*, ९८०, PP १८२.
१४. D. Yang, M. Kwon, Y. Jang, J. Baeh (२००६) *Tetrahedron Lett.*, ४७, PP ८८२८.
१५. M. Shabber, A. K. Padala, B. A. Dar, S. Baldev, B. Sreedhar, R. A. Vishwakarma, S. B. Bharate (२०१२) *Tetrahedron.*, ६८, PP ८१५६.
१६. Z.-J. Quan, Q. Xu, Z. Zhang, Y.-X. Da, X.-C. Wang (२०१३) *Tetrahedron.*, ६९, PP ८८१.
१७. S. D. Dindulkar, V. G. Puranik, Y. T. Jeong. (२०१२) *Tetrahedron Lett.*, ५३, PP ४३७६.
१८. M. Kidwai, N. K. Mishra, V. Bansal, M. A. S. Kumar (२००९) *Tetrahedron Lett.*, ५०, PP १३८८.
१९. E. Mosaddegh (२०१३) *Ultrason. Sonochem.*, २०, PP १४३६.
२०. K. Ruff, D. Devore, M. Leo, M. Robinson (२००९) *Clin Interv Aging.*, ४, PP २३०.
२१. M. N. Freire, J. N. F. Holanda. (२००६) *Ceram.*, ५२, PP २४०.
२२. T. Nakano, N. I. Ikava, L. Ozimek (२००३) *Poul. Sci.*, ८२, PP ०१०.
२३. E. M. Rivera, M. Araiza, W. Brostow, V. M. Castano, J. R. Diaz-Estrada, R. Hernandez, J. R. Rodrigues (१९९९) *Mater. Lett.*, ४१, PP १२८.

٢٤. A. Foroumadi, S. Mansouri, Z. Kiani, A. Rahamani, J. Eur (٢٠٠٣) *Med. Chem.*, ٣٨, PP ٨٥١.
٢٥. V. J. Ram, J. H. N. Pandey. (١٩٧٤) *Chem. Pharm. Bull.*, ٢٢, PP ٢٧٧٨.
٢٦. A. Zarei (٢٠١٢) *Tetrahedron Lett.*, ٥٣, PP ٥١٧٦.
٢٧. V. Mathew, J. Keshavayya, V. P. Vaidya, D. Giles, J. Eur (٢٠٠٤) *Med. Chem.*, ٤٤, PP ٨٢٣.
٢٨. M. S. Langley, S. P. Clissold (١٩٨٨) *Drugs.*, ٣٥, PP ١٠٤.
٢٩. N. Demirbas, R. Ugurluoglu, A. Demirbas (٢٠٠٤) *Bioorg. Med. Chem.*, ١٠, PP ٣٧١٧.
٣٠. (a) M. Ghannoum, L. B. Rice (١٩٩٩) *Clin. Microbiol. Rev.*, ١٢, PP ٥٠١; (b) M. Y. Mhasalkar, M. H. Shah, S. T. Nikam, K. G Ananthanarayana, C. V. J. Deliwala (١٩٧٠) *Med. Chem.*, ١٣, PP ٦٧٢.
٣١. N. O. Mahmoodi, M. Mamaghani, T. Behzadi (٢٠١٢) *Mol. Divers.*, ١٦, PP ٧٣٧.
٣٢. (a) M. Journet, D. Cai, J. J. Kowal, R. D. Larsen (٢٠٠١) *Tetrahedron Lett.*, ٤٢, PP ٩١١٧; (b) S. J. Coats, J. S. Link, D. Gauthier, D. J. Hlasta. (٢٠٠٨) *Org. Lett.*, ٧, PP ١٤٦٩; (c) V. Gracias, D. Darczak, A. F. Gasiecki, S. W. Djuric Max. (٢٠٠٨) *Tetrahedron Lett.*, ٤٦, PP ٩٠٥٣; (d) M. Majireck, S. M. Weinreb (٢٠٠٩) *J. Org. Chem.*, ٧١, PP ٨٦٨.
٣٣. B. S. P. Anil Kumar, K. H. V Reddy, B. Madhav, K. Ramesh., Y. V. D Nageswar (٢٠١٢) *Tetrahedron Lett.*, ٥٣, PP ٤٥٩٥.
٣٤. I. S.-S. Juan, O.-T. Adrian, A. R. Ignacio (٢٠١١) *Arkivoc.*, (xi), PP ١٧٧.
٣٥. F. Alonso, Y. Moglie, G. Radivoy, M. Yus (٢٠٠٩) *Tetrahedron Lett.*, ٥٠, PP ٢٣٥٨.
٣٦. D. wong, N. Li, M. zhao, W. Shi, C. Ma, B. Chen (٢٠١٠) *Green Chem.*, ١٢, PP ٢١٢.
٣٧. M. Rivara, M. K. Patel, L. Amori, V. Zuliani (٢٠١٢) *Bioorg & Med Chem Lett.*, ٢٢, PP ٦٤٠.
٣٨. M. L. Kantam, V. S. Jaya, B. Sreedhar, M. M. Rao, B. M. Choudary (٢٠٠٦) *J. Mol. Catal. A: Chem.*, ٢٥٦, PP ٢٧٣.
٣٩. . H. Kang, H. J. Lee, J. C. Park, H. Song, K. H. Park (٢٠١٠) *Top Catal.*, ٥٣, PP ٥٢٣.
٤٠. T. Miao, L. Wang (٢٠٠٨) *Synth.*, No. ٣, PP ٣٦٣.



## **Abstract**

1,2,3-Triazoles have attracted interest over the past few years as their moieties have been widely used in pharmaceuticals, agrochemicals, dyes, photographic materials, corrosion inhibition.

In this research we have developed eggshell-CuI as a green catalyst for the synthesis of 1,2,3-triazoles. This one pot preparation of 1,2,3-triazoles involves initial substitution of alkyl halides with sodium azide to generate *in situ* alkyl azides which is followed by copper catalyzed cycloaddition reaction with alkynes in water at room temperature. The present method described here is simple, facile and can be applicable to a wide range of substrates with high functional group tolerance.

**Keywords:**“ : 1,2,3-triazole”, “Eggshell copper (I) catalyst”, “, Sodium azide”



Shahrood University of Technology

Faculty of Chemistry

## **The synthesis of 1,4,5-triazole derivatives**

**S. S. Hashemizadeh**

Supervisor:

**Dr. M. Bakherad**

September ۱۴۰۴